

Федеральное агентство по науке и инновациям  
Федеральное государственное научное учреждение  
«Научно-исследовательский радиофизический институт»

Препринт № 529

**ЛЕКЦИИ ПО ТЕОРИИ ПРЕДСТАВЛЕНИЙ  
КОНЕЧНЫХ ГРУПП**

**IV. ПРОСТРАНСТВЕННЫЕ ГРУППЫ  
И ИХ ПРЕДСТАВЛЕНИЯ**

Г. М. Жислин

Нижний Новгород 2009

УДК 539.18

Жислин Г. М. Лекции по теории представлений конечных групп. IV. Пространственные группы и их представления // Препринт НИРФИ № 529. — Нижний Новгород: НИРФИ, 2009. 51 с.

В работе изучаются группы  $G$  пространственной симметрии кристаллов и их представления. Для произвольных кристаллов устанавливаются возможные типы точечной симметрии и вид функций, трансляционная симметрия которых определяется волновым вектором  $k$  (теорема Блоха с учетом условия Борна – фон Кармана). Исследована связь между (нормальными) неприводимыми представлениями группы вектора  $k$  и неприводимыми представлениями группы  $G$ .

Работа поддержана грантом РФФИ 08-01-00209

## 9. Симметрия кристаллов\*

Пути, что лягут пред вами,  
чужими не пройти ногами.

*Низами*

### Введение

В настоящей работе мы изучаем симметрию кристаллов. Рассматривается трансляционная и точечная симметрия бесконечных и конечных кристаллов и структура группы симметрии кристалла без включений и с включениями. Исследуется связь неприводимых представлений пространственной группы  $G$  симметрии кристалла и групп  $H_k$  симметрии волновых векторов  $k$  из зоны Бриллюэна и проводится построение неприводимых представлений группы  $G$  по неприводимым представлениям группы  $H_k$  и звезде вектора  $k$ .

Изложенный материал примыкает к работам [1–3] и при их использовании представляет замкнутое достаточно подробное введение в теорию симметрии кристаллов.

### § 9.1. Бесконечный кристалл и его симметрия

п.1. Кристаллом мы назовем бесконечную периодическую решетчатую структуру, в узлах которой находятся тождественные атомы. Чтобы описать кристалл, фиксируем у него произвольный узел, положение которого мы примем за начало координат, и рассмотрим три некомпланарных вектора  $a_1, a_2, a_3$ , соединяющих этот узел с тремя соседними. Выбор векторов  $a_i$  неоднозначен; мы всегда будем брать их так, чтобы они образовывали правый базис в  $R^3$  и чтобы длины их были минимальными по сравнению с другими возможностями (рис. 9.1). В силу периодичности кристалла в направлениях  $a_i$ ,  $i = 1, 2, 3$ , любой узел решетки кристалла в базисе  $a = (a_1, a_2, a_3)$  имеет координаты

---

\* Мы продолжаем нумерацию глав [1–3].

$n = (n_1, n_2, n_3)$ , где числа  $n_i$  принадлежат множеству  $\mathbb{Z}$  целых чисел. Полагая  $n_i = 0, \pm 1, \pm 2, \dots$ ,  $i = 1, 2, 3$ . мы получим все

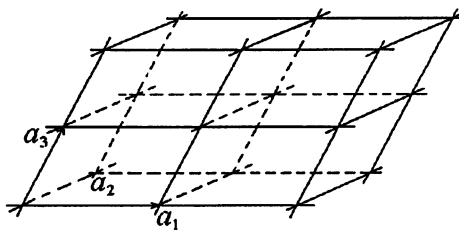


Рис. 9.1

узлы решетки. Поэтому в качестве математической модели бесконечного кристалла можно рассматривать множество точек

$$Z_a = \{n \mid n = n_1 a_1 + n_2 a_2 + n_3 a_3, \quad n_i = 0, \pm 1, \pm 2, \dots, i = 1, 2, 3\}.$$

Это множество называется решеткой Браве, вектора  $n$  называются векторами решетки, а (базисные) векторы  $a_1, a_2, a_3$  — основными векторами решетки. Параллелепипед, построенный на основных векторах — элементарный параллелепипед. Очевидно, его объем  $V_a = (a_1, [a_2, a_3])$ .

**п.2. Определение.** Группа  $G_a$  преобразований в  $R^3$ , переводящих решетку Браве в себя, называется группой пространственной симметрии кристалла.

Другими словами

$$G_a = \{g \mid gZ_a = Z_a, \quad g \text{ — обратимые операторы в } R^3\}.$$

Основное отличие кристалла от молекулы “по симметрии” — это наличие в группе симметрии кристалла сдвигов (трансляций) на вектора решетки, т. е. наличие трансляционной симметрии. Действительно, пусть  $c$  — произвольный вектор из  $R^3$  и  $t_c$  — оператор сдвига в  $R^3$  на вектор  $c$ :

$$t_c r := r + c, \quad \forall r \in R^3.$$

Тогда для любых  $n' = \sum_{i=1}^3 n'_i a_i \in Z_a$  и  $n = \sum_{i=1}^3 n_i a_i \in Z_a$ , имеем

$$t_{n'} n = n + n' = \sum_{i=1}^3 (n_i + n'_i) a_i \in Z_a.$$

Таким образом решетка Браве инвариантна относительно трансляций на вектора решетки и, значит,  $t_{n'} \in G_a$  при  $\forall n' \in Z_a$ .

Пусть

$$\tau_a = \{t_{n'} \mid n' = \sum_{i=1}^3 n'_i a_i, \quad \forall n' \in Z_a\}.$$

Множество  $\tau_a$  — группа по умножению: при  $\forall n', n'' \in Z_a$

$$t_{n'} t_{n''} r = t_{n'}(r + n'') = r + n'' + n' = t_{n'' + n'} r, \quad (t_{n'})^{-1} = t_{-n'} \text{ и т. д.}$$

Группа  $\tau_a$  называется группой трансляционной симметрии кристалла. Очевидно,  $\tau_a$  — подгруппа группы  $G_a$ . Так как  $t_{n'} = t_{n'_1 a_1} t_{n'_2 a_2} t_{n'_3 a_3}$  и  $t_{n'_i a_i} = t_{a_i}^{n'_i}$ <sup>1)</sup>, то  $\tau_a = \tau_{a_1} \times \tau_{a_2} \times \tau_{a_3}$ , где  $\tau_{a_i} = \{t_{a_i}^{n'_i} \mid n'_i = 0, \pm 1, \pm 2, \dots\}$ , то есть группа  $\tau_a$  есть прямое произведение трех бесконечных циклических групп  $\tau_{a_i}$ .

п.3. Обсудим теперь вращательную симметрию кристалла.

**Определение.** Максимальная подгруппа преобразований из полной группы вращений  $O(3)$ , переводящих решетку Браве в себя, называется группой точечной симметрии кристалла.

Обозначим эту группу через  $K_a$ . По определению,  $K_a = \{\beta \mid \beta \in O(3), \beta Z_a = Z_a\}$ . Элементы  $\beta \in K_a$  называются преобразованиями точечной симметрии кристалла (точечными преобразованиями). Ясно, что они определяются пространственной структурой решетки  $Z_a$ . Однако некоторые заключения об элементах  $\beta$  из  $K_a$  можно сделать в самом общем случае — не конкретизируя вид решетки Браве. Так как, очевидно,  $i \in K_a$  ( $i$  — инверсия в  $R^3$ ) и так как для  $\forall \beta' \in O(3)$  выполняется  $\beta' = \beta i$

---

<sup>1)</sup> Так как  $t_{-a_i} = t_{a_i}^{-1}$ , то при  $n'_i < 0$  мы полагаем  $t_{a_i}^{n'_i} = (t_{a_i}^{-1})^{|n'_i|} = t_{n'_i a_i}$ .

или  $\beta' = \beta$  для какого-либо  $\beta \in O^+(3)$ , то далее рассматриваем только  $\beta \in O^+(3)$ . Включение  $\beta \in K_a$  эквивалентно условию  $\beta n \in Z_a$  при  $\forall n \in Z_a$ , и, значит, условиям

$$\beta a_s \in Z_a, \quad s = 1, 2, 3.$$

Пусть  $\|\beta\|_a = (\beta_{st})$  — матрица вращения  $\beta$  из  $K_a$  в базисе  $a = (a_1, a_2, a_3)$ . Тогда

$$\beta a_i = \sum_{j=1}^3 \beta_{ji} a_j,$$

где  $\beta_{ji}$  — целые числа. Следовательно, след  $\text{Tr } \|\beta\|_a = \sum_{j=1}^3 \beta_{jj}$  матрицы  $\|\beta\|_a$  есть целое число. Выберем в  $R^3$  новый (ортонормированный) базис  $e = (e_1, e_2, e_3)$  так, чтобы вектор  $e_3$  лежал на оси вращения  $\ell$  оператора  $\beta$  и совпадал с  $\ell$  по направлению. Тогда в базисе  $e$  матрица вращения  $\beta$  будет иметь вид

$$\|\beta\|_e = \begin{pmatrix} \cos \varphi & \sin \varphi & 0 \\ -\sin \varphi & \cos \varphi & 0 \\ 0 & 0 & 1 \end{pmatrix},$$

где  $\varphi$  — угол поворота, осуществляющегося вращением  $\beta$  около оси  $\ell$ . Так как  $\text{Tr } \|\beta\|_e = \text{Tr } \|\beta\|_a$ , то величина  $\text{Tr } \|\beta\|_e = 2 \cos \varphi + 1$  есть целое число. Следовательно, возможные значения  $\cos \varphi$  суть  $0, \pm \frac{1}{2}, \pm 1$ , т. е. возможные значения  $\varphi$  — это  $0, \pi, \frac{\pi}{2}, \frac{3}{2}\pi, \frac{\pi}{3}, \frac{2\pi}{3}, \frac{4\pi}{3}, \frac{5\pi}{3}$ . Известно, что если какая-либо система имеет ось симметрии  $n$ -го порядка, то группа симметрии данной системы содержит повороты около этой оси на углы  $\frac{2\pi}{n} k$ ,  $k = 0, 1, \dots, n-1$ . Поэтому записывая возможные значения угла  $\varphi$  в виде

$$\varphi = 0, \frac{2\pi}{2}, \frac{2\pi}{4}, \frac{2\pi}{4} \cdot 3, \frac{2\pi}{6}, \frac{2\pi}{3}, \frac{2\pi}{3} \cdot 2, \frac{2\pi}{6} \cdot 5,$$

мы видим, что возможные значения порядков осей симметрии кристалла равны 2, 3, 4, 6. Значит, оси других порядков в кристалле невозможны. А что касается осей порядков 2, 3, 4, 6, то наши рассуждения конечно не доказывают существования кристаллов, у которых имеются оси симметрии данных порядков. Однако такие кристаллы действительно существуют [5].

**п.4.** В зависимости от типа точечной симметрии кристалла — т. е. от группы  $K_a$  — решетки Браве делятся на 7 классов, называемых сингониями [5]. Мы не будем их перечислять, но в качестве примера приведем одну из простейших сингоний — моноклинную с симметрией  $K_a = C_{2h}$ . Такая симметрия возникает, если основные векторы  $a_1$  и  $a_2$  произвольны, вектор  $a_3$  перпендикулярен к  $a_1$ ,  $a_2$  и является осью 2-го порядка (рис. 9.2,*a*).

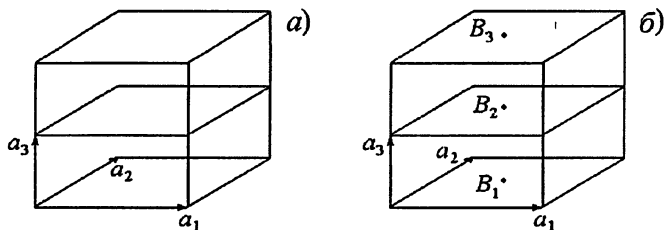


Рис. 9.2

До сих пор мы рассматривали кристаллы без включений, т. е. ситуацию, когда кристалл содержит тождественные атомы только в узлах решетки и ничего кроме них. Однако фактически в большинстве случаев внутри каждой элементарной ячейки кристалла и (или) на её гранях возможны включения атомов, вообще говоря, других элементов. Не нарушая трансляционную симметрию кристалла такие включения, как правило, понижают точечную симметрию. Другими словами, если кристалл без включений обладал точечной симметрией группы  $K_a$ , то после появления включений точечная симметрия будет определяться некоторой подгруппой  $K'_a \subseteq K_a$ .

Для того, чтобы  $K'_a = K_a$ , включения должны располагаться специальным образом. Так, для моноклинной сингонии чтобы симметрия  $C_{2h}$  сохранилась после появления включений достаточно, чтобы атомы включения  $B_i$  (тождественные между собой, но, вообще говоря, отличные от атомов в узлах решетки Браве) располагались в середине верхней и нижней граней элементарной ячейки (рис. 9.2,б). Такой тип ячеек называется базоцентрированным.

## § 9.2. Конечный кристалл. Условие Борна – фон Кармана

п.1. Реальные кристаллы не являются бесконечными, и поэтому говорить об их трансляционной инвариантности невозможно. Действительно, пусть  $Y_0$  — конечный кристалл. Тогда при любой трансляции: а) часть атомов кристалла  $Y_0$  окажется вне его; б) для тех атомов, которые при трансляции остаются внутри  $Y_0$ , их новые положения могут быть “не эквивалентны”

исходным. Дадим математическое описание ситуации. Рассмотрим конечный кристалл  $Y_0$ , имеющий форму параллелепипеда, ребра которого параллельны векторам  $a_1, a_2, a_3$ , а их длины соответственно равны  $N_1|a_1|, N_2|a_2|, N_3|a_3|$ , где  $N_i$  — число элементарных ячеек конечного кристалла  $Y_0$  в направлении  $a_i$ . В реальных кри-

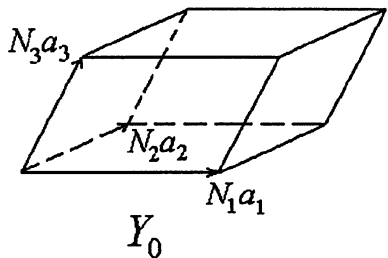


Рис. 9.3

сталлах числа  $N_i$  достаточно велики:  $N_i \geq 10^6$ . Введем в кристалле  $Y_0$  систему координат, направив её оси по векторам  $a_1, a_2, a_3$ , а начало поместим в левую нижнюю вершину передней грани (рис. 9.3).

Очевидно, координаты всех узлов  $Y_0$  есть целые числа  $n = (n_1, n_2, n_3)$ , где  $0 \leq n_i \leq N_i$ . Фиксируем  $n' = \sum_{i=1}^3 n'_i a_i$ , где  $n'_i \in \mathbb{Z}$ . Тогда  $t_{n'} n = n + n' = \sum_{i=1}^3 (n_i + n'_i) a_i$ . Вернемся теперь к проблемам а), б), о которых мы говорили выше. Мы видим, что после трансляции  $t_{n'}$  все узлы  $n = (n_1, n_2, n_3)$ , для которых  $n_i > N_i - n'_i$  или  $n_i < -n'_i$  хотя бы для одного значения  $i$ , окажутся вне  $Y_0$  — это иллюстрация к ситуации а). Обсудим теперь проблему б). Если, например, узел  $n$  расположен вблизи одной из граней (т. е. хотя бы одна из его координат  $n_i$  “не сильно” отличается от 0 или от  $N_i$ ), а узел  $n + n'$  оказывается вблизи центра кристалла  $Y_0$ , то ясно, что с физической точки зрения положения  $n$  и  $n + n'$  одного и того же атома не эквивалентны. Действительно, в узле  $n$  атом испытывает воздействие других атомов в основном “с одной стороны”, а в узле  $n + n'$  — со всех сторон. Однако, поскольку общее число узлов  $N = N_1 N_2 N_3$  очень велико ( $\geq 10^{18}$ ), а число состояний  $n$  и сдвигов  $n'$ , при которых положения  $n$  и  $n + n'$  существенно не эквивалентны, сравнительно мало, то условились считать, что всегда узлы  $n \in Y_0$  и  $t_{n'} n$  эквивалентны, если  $n' + n_0 \in Y_0$ . Тем самым снимается проблема б). Решение проблемы а) рассматривается в п.2.

**п.2.** Метод преодоления трудностей, возникающих при  $t_{n'} n \notin Y_0$ , был предложен Борном и фон Карманом. Их идея состоит в следующем. Заполним всё пространство  $R^3$  кристаллами  $Y_\alpha$ , тождественными  $Y_0$ , перенося кристалл  $Y_0$  с “вмороженной” в него координатной системой параллельно самому себе, и после этого отождествим узлы кристаллов  $Y_\alpha$  и  $Y_0$ , которые имеют одинаковые локальные координаты. Рассмотрим узлы  $M_\alpha \in Y_\alpha$  и  $M_0 \in Y_0$ , локальные координаты которых  $n(\alpha)$  и  $n$  соответственно в кристаллах  $Y_\alpha$  и  $Y_0$  одинаковы, т.е.  $OM_0 = O_\alpha M_\alpha$ .

(рис. 9.4). Ясно, что  $OM_\alpha = OO_\alpha + O_\alpha M_\alpha$ , где вектор  $OO_\alpha = (k_1 N_1, k_2 N_2, k_3 N_3)$  соединяет начала координат в кристаллах  $Y_0$  и  $Y_\alpha$  и числа  $k_i \in \mathbb{Z}$  зависят от  $\alpha$ . Поэтому мы можем за-

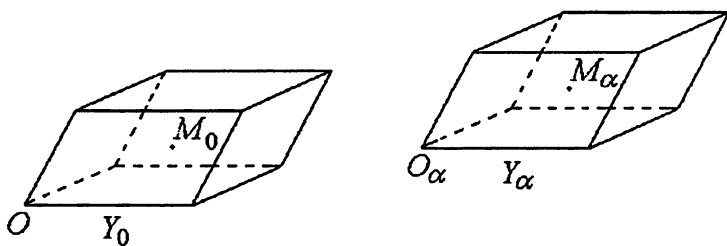


Рис. 9.4

писать, что  $M_\alpha = t_{OO_\alpha} M_0 = t_{k_1 N_1 a_1} t_{k_2 N_2 a_2} t_{k_3 N_3 a_3} M_0$ . Согласно Борну – фон Карману отождествляем точки  $M_0$  и  $M_\alpha$ . Это означает, что мы должны приравнять оператор  $t_{OO_\alpha}$  к единичному (тождественному) оператору  $I$ , т. е. должны положить

$$t_{a_1}^{k_1 N_1} t_{a_2}^{k_2 N_2} t_{a_3}^{k_3 N_3} = I \quad \text{при } \forall k_1, k_2, k_3 \in \mathbb{Z}.$$

Следовательно,

$$t_{a_1}^{N_1} = t_{a_2}^{N_2} = t_{a_3}^{N_3} = I. \quad (9.1)$$

Равенства (9.1) дают математическую формулировку идеи (условия) Борна – фон Кармана. При их выполнении результат действия оператора трансляции  $t_{n'}$  на любой узел  $n \in Y_0$  лежит в  $Y_0$  при  $\forall n'$ . Действительно, вектор  $t_{n'} n$  можно записать в виде

$$t_{n'} n = \sum_{i=1}^3 (n_i + n'_i) a_i = \sum_{i=1}^3 (k_i N_i + n''_i) a_i = \sum_{i=1}^3 k_i N_i a_i + n'', \quad (9.2)$$

где  $k_i \in \mathbb{Z}$ ,  $n'' = (n''_1, n''_2, n''_3)$ ,  $0 \leq n''_i < N_i$ . Поэтому в силу (9.1),

$$t_{n'} n = t_{a_1}^{k_1 N_1} t_{a_2}^{k_2 N_2} t_{a_3}^{k_3 N_3} n'' = n'' \in Y_0.$$

Отметим, что условия (9.1) приводят к необходимости отождествления между собой и некоторых узлов исходного кристалла. А именно, в силу (9.1) узлы  $n = (n_1, n_2, n_3)$  и  $\tilde{n} = (\tilde{n}_1, \tilde{n}_2, \tilde{n}_3)$  из  $Y_0$  отождествляются, если при  $\forall j, 1 \leq j \leq 3$ , выполняется  $|n_j - \tilde{n}_j| = N_j$  или  $n_j = \tilde{n}_j$ .

**Задание.** Докажите, что отождествляемые между собой узлы  $n$  и  $\tilde{n}$  лежат на противоположных гранях кристалла  $Y_0$  и одновременно на концах отрезков:

- a) параллельных какому-либо из векторов  $N_s a_s, N_s a_s \pm N_t a_t$ ,  $s, t = 1, 2, 3, s \neq t$ ;
- б) ? (заполнить самостоятельно).

**п.3.** Группа трансляций  $\tau_a = \tau_{a_1} \times \tau_{a_2} \times \tau_{a_3}$  — бесконечная для бесконечного кристалла — становится конечной при условии (9.1), ибо бесконечные группы  $\tau_{a_j}$  превращаются в конечные:

$$\tau_{a_j} = \left\{ t_{a_j}^s \mid s = 0, 1, \dots, N_j - 1, \quad t_{a_j}^{N_j} = t_{a_j}^0 = e_0 \right\}, \quad j = 1, 2, 3,$$

где  $e_0 = I$  — единичный элемент группы  $\tau_{a_j}$ . Группа  $\tau_{a_j}$  — циклическая порядка  $N_j$ . Следовательно, она изоморфна группе

$C_{N_j} = \left\{ C_z \left( \frac{2\pi}{N_j} s \right) \mid s = 0, 1, \dots, N_j - 1 \right\}$  вращений вокруг оси  $z$  на углы, кратные  $\frac{2\pi}{N_j}$ . Представления группы  $C_{N_j}$  известны [3], поэтому в силу изоморфизма группы  $\tau_{a_j}$  имеет те же неприводимые представления, что и группа  $C_{N_j}$ , т. е.

$$t_{a_j} \rightarrow e^{i \frac{2\pi}{N_j} p_j}, \quad p_j \in \mathbb{Z}, \quad 0 \leq p_j < N_j,$$

где числа  $p_j$  определяют типы (неприводимых) представлений группы  $\tau_{a_j}$ . При фиксированном  $p = (p_1, p_2, p_3)$  и  $n = \sum_{s=1}^3 n_s a_s$  имеем

$$t_n = t_{a_1}^{n_1} t_{a_2}^{n_2} t_{a_3}^{n_3} \rightarrow e^{2\pi i \sum_{j=1}^3 p_j n_j}.$$

Таким образом одномерная матрица  $D_n^{(p)}$  неприводимого представления  $t_n \rightarrow D_n^{(p)}$  типа  $p$  группы  $\tau_a$  имеет вид

$$D_n^{(p)} = e^{2\pi i \sum_{j=1}^3 p_j n_j}. \quad (9.3)$$

В силу (9.2), (9.3) чтобы перебрать все  $N = N_1 N_2 N_3$  не эквивалентных неприводимых представлений группы  $\tau_a$  достаточно перебрать все значения  $p_j = 0, 1, \dots, N_j - 1$ ,  $j = 1, 2, 3$ . Заметим, однако, что выбор значений  $p_j$  для описания всех неприводимых представлений группы  $\tau_a$  не однозначен. Действительно, пусть вектор  $p = (p_1, p_2, p_3)$  — фиксирован,  $d_j \in \mathbb{Z}$ ,  $\tilde{p}_j = p_j + d_j N_j$  и  $\tilde{p} = (\tilde{p}_1, \tilde{p}_2, \tilde{p}_3)$ . Тогда очевидно  $D_n^{(p)} = D_n^{(\tilde{p})}$  для  $\forall n$ , т. е. одно и то же неприводимое представление группы  $\tau_a$  может определяться разными векторами  $p$  и  $\tilde{p}$  при условии, что  $p - \tilde{p} = (d_1 N_1, d_2 N_2, d_3 N_3)$ ,  $d_j \in \mathbb{Z}$ . Следовательно, для перебора всех неприводимых представлений группы  $\tau_a$  можно взять  $p_j = (d_{0j} N_j, d_{1j} N_j + 1, d_{2j} N_j + 2, \dots, d_{N_j-1,j} N_j + (N_j - 1))$  при любых  $d_{sj} \in \mathbb{Z}$ ,  $j = 1, 2, 3$ ,  $s = 0, 1, \dots, N_j - 1$ .

### § 9.3. Обратная решетка. Зона Бриллюэна

**п.1.** Для описания неприводимых представлений группы  $\tau_a$  в физике принято использовать так называемую обратную решетку  $Z_b$ . Основные вектора  $b_1, b_2, b_3$  этой решетки определяются формулами

$$b_1 = \frac{[a_2, a_3]}{(a_1, [a_2, a_3])}, \quad b_2 = \frac{[a_3, a_1]}{(a_2, [a_3, a_1])}, \quad b_3 = \frac{[a_1, a_2]}{(a_3, [a_1, a_2])}. \quad (9.4)$$

В силу (9.4)  $(b_j, a_i) = 0$  при  $j \neq i$ ,  $(b_j, a_j) = 1$ ,  $j = 1, 2, 3$  и кроме того объем  $V_b = (b_1, [b_2, b_3])$  элементарного параллелепипеда, построенного на основных векторах обратной решетки, равен  $V_a^{-1} = (a_1, [a_2, a_3])^{-1}$ . Если вектора  $a_1, a_2, a_3$  взаимно ортогональны, то, очевидно, вектора  $b_1, b_2, b_3$  тоже взаимно ортогональны и  $|b_i| = |a_i|^{-1}$ .

Вектора  $\ell = \ell_1 b_1 + \ell_2 b_2 + \ell_3 b_3$ ,  $\ell_i \in \mathbb{Z}$ , называются векторами обратной решетки  $Z_b$ , концы векторов  $\ell$  назовем узлами решетки  $Z_b$ . Таким образом

$$Z_b = \{\ell \mid \ell = \sum_{s=1}^3 \ell_s b_s, \quad \ell_s = 0, \pm 1, \pm 2, \dots\}.$$

Пусть  $p_i \in \mathbb{Z}$ ,  $i = 1, 2, 3$  и  $p = (p_1, p_2, p_3)$ . Положим,

$$k := 2\pi \left( \frac{p_1 b_1}{N_1} + \frac{p_2 b_2}{N_2} + \frac{p_3 b_3}{N_3} \right). \quad (9.5)$$

В силу свойств векторов  $b_i$

$$(k, n) = 2\pi \left( \sum_{j=1}^3 \frac{p_j b_j}{N_j}, \sum_{t=1}^3 n_t a_t \right) = 2\pi \sum_{j=1}^3 \frac{n_j p_j}{N_j}$$

и поэтому вследствие (9.3)

$$D_n^{(p)} = e^{i(k,n)}. \quad (9.6)$$

Таким образом мы видим, что при  $p_j \in \mathbb{Z}$ ,  $j = 1, 2, 3$ , вектор  $k$  однозначно определяет неприводимое представление группы  $\tau_a$ . В то же время одному и тому же неприводимому представлению группы  $\tau_a$  могут отвечать различные значения  $k$ .

**Задание.** Докажите, что

1. Вектора  $k = 2\pi \sum_{j=1}^3 \frac{p_j b_j}{N_j}$  и  $\tilde{k} = 2\pi \sum_{j=1}^3 \frac{\tilde{p}_j b_j}{N_j}$  задают одно и тоже неприводимое представление группы  $\tau_a$  тогда и только тогда, когда существует такой вектор  $\ell$  обратной решетки, что

$$k - \tilde{k} = 2\pi \ell. \quad (9.7)$$

2. Вектор  $k$  не определяет представление группы  $\tau_a$ , если в (9.5)  $p_j \notin \mathbb{Z}$  хотя бы для одного значения  $j$ .

**п.2.** Вектор  $k$  называется волновым вектором.

**Определение.** Область в пространстве, которая содержит волновые вектора  $k$ , отвечающие всем различным неприводимым представлениям группы  $\tau_a$ , называется зоной Бриллюэна (далее ЗБ), если для  $\forall k, \bar{k} \in \text{ЗБ}$ ,  $k \neq \bar{k}$ , вектора  $k$  и  $\bar{k}$  определяют различные неприводимые представления группы  $\tau_a$ .

Ясно, что ЗБ определена не однозначно. Простейшая ЗБ это параллелепипед  $\mathbb{B} = B_1 \dots B_8$ , подобный элементарному параллелепипеду обратной решетки, но с ребрами, увеличенными

в  $2\pi$  раз (рис. 9.5). Здесь начало координат в базисе  $b_1, b_2, b_3$  помещено в точку  $B_1$ ,  $B_1B_2 = 2\pi b_1$ ,  $B_1B_4 = 2\pi b_2$ ,  $B_1B_5 = 2\pi b_3$ . При этом из каждой пары противоположных граней параллелепипеда  $\mathbb{B}$  мы должны оставить лишь одну (почему?). Например, оставляем грани  $B_1B_2B_3B_4$ ,  $B_1B_2B_6B_5$ ,  $B_1B_4B_8B_5$ , а грани  $B_5B_6B_7B_8$ ,

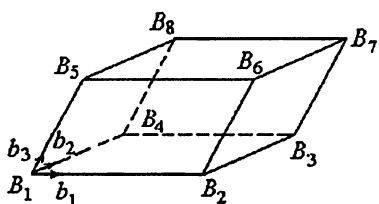


Рис. 9.5

$B_4B_3B_7B_8$ ,  $B_2B_3B_7B_6$  — отбрасываем. Полученная таким образом зона Бриллюэна — назовем её ЗБ1 — содержит все вектора  $k$ , получающиеся по формуле (9.5) с  $p_j = 0, 1, \dots, N_j - 1$ ,  $j = 1, 2, 3$ .

Из предыдущего следует, что вместо этой ЗБ1 мы можем взять любую другую ЗБ, получающуюся сдвигом всего параллелепипеда  $\mathbb{B}$  или каких-то его частей на  $2\pi\ell$  с произвольными векторами  $\ell$  обратной решетки для каждой части. Обычно стараются выбрать в качестве ЗБ область в  $R^3$ , обладающую в базисе  $b_1, b_2, b_3$  максимальной симметрией. В некоторых случаях удается выбрать ЗБ в виде шара (если  $|b_1| = |b_2| = |b_3|$  и угол между  $b_i, b_j$  при  $i \neq j$  равен  $\frac{\pi}{3}$ ).

Покажем, как можно несколько симметризовать ЗБ1 в общей ситуации. Разобьем ЗБ1 на 8 параллелепипедов, проведя плоскости через середины ребер противоположных граней. Получим 8 параллелепипедов  $\Pi_1, \dots, \Pi_8$ , нумеруя  $\Pi_j$  номером  $j$  той вер-

шины  $B_j$  параллелепипеда  $\mathbb{B}$ , которая содержитя в  $\Pi_j$ . Далее полагаем

$$\left. \begin{array}{l} \Pi'_1 = \Pi_1, \\ \Pi'_j = \{M' \mid M' = M - 2\pi\ell(j), M \in \Pi_j\}, \quad j = 2, 3, \dots, 8, \\ \text{где } \ell(2) = b_1, \quad \ell(3) = b_1 + b_2, \quad \ell(4) = b_2, \quad \ell(5) = b_3, \\ \ell(6) = b_1 + b_3, \quad \ell(7) = b_1 + b_2 + b_3, \quad \ell(8) = b_2 + b_3. \end{array} \right\} \quad (9.8)$$

В силу (9.8) и Задания 1 волновые вектора  $k$  из  $\Pi_j$  перейдут в волновые вектора  $k'$  из  $\Pi'_j$ , отвечающие тем же неприводимым представлениям, что и  $k$ . Поэтому в параллелепипеде

$$B' = \bigcup_{j=1}^8 \Pi'_j$$

не потеряно ни одно значение  $k$  из ЗБ1 (конечно, с точностью до эквивалентных). Чтобы получить из параллелепипеда  $B'$  зону Бриллюэна — которую мы назовем ЗБ2 — мы должны (так же, как и при построении ЗБ1) из каждой пары противоположных граней  $B'$  удалить одну. Если это сделать аналогично п.2, то можно записать, что

$$\text{ЗБ2} = \left\{ r \mid r = \sum_{j=1}^3 x_j b_j, \quad -\pi |b_j| \leq x_j < \pi |b_j|, \quad j = 1, 2, 3 \right\}.$$

Далее (если не сказано иное) мы всюду берем ЗБ = ЗБ1.

#### § 9.4. Теорема Блоха. Правила отбора для трансляционной симметрии

**п.1.** Пусть  $k$  — волновой вектор из ЗБ. Найдем общий вид функций, принадлежащих представлению типа  $k$ . Операторы  $T_{t_n}$  представления группы  $\tau_a$ , отвечающие трансляциям  $t_n$ , для

краткости будем обозначать через  $T(n)$ . Наша цель состоит в том, чтобы найти общий вид функций  $\psi^{(k)}(r)$ , для которых  $T(n)\psi^{(k)}(r) = e^{i(k,n)}\psi^{(k)}(r)$ , где  $T(n)\psi(r) = \psi(t_n^{-1}r) = \psi(r - n)$  при  $\forall \psi(r)$ . Предварительно заметим, что с учетом условия Борна – фон Кармана в качестве пространства представления  $t_n \rightarrow T(n)$ , в котором мы будем искать вид функций  $\psi^{(k)}(r)$ , мы должны рассматривать пространство  $L$  периодических функций  $\psi(r)$ :

$$\psi(r + d_1N_1a_1 + d_2N_2a_2 + d_3N_3a_3) = \psi(r) \quad \forall d_i \in \mathbb{Z}, \quad (9.9)$$

ибо только в этом случае можно отождествлять находящиеся в разных кристаллах точки с одинаковыми локальными координатами, как того требует условие Борна – фон Кармана.

**Теорема Блоха.** *Функции  $\psi(r)$ , принадлежащие в пространстве  $L$  волновому вектору  $k$  (т. е. преобразующиеся по неприводимому представлению типа  $k$  группы  $\tau_a$ ) имеют вид:*

$$\psi(r) = e^{-i(k,r)}\Phi(r), \quad (9.10)$$

где  $\Phi(r)$  – произвольная функция, инвариантная относительно трансляций на вектора решетки  $Z_a$ .

**Замечание.** Иногда в литературе в формулировке теоремы Блоха можно увидеть  $e^{i(k,r)}$  вместо  $e^{-i(k,r)}$ . Это означает лишь то, что там в определении вектора  $k$  правая часть формулы (9.5) взята со знаком минус.

**п.2. Доказательство.** Отметим сначала, что любая функция  $\psi(r)$  вида

$$\psi(r) = e^{-i(k,r)}\Phi(r), \quad (9.11)$$

где функция  $\Phi(r)$  инвариантна относительно сдвигов на вектора решетки Браве, действительно принадлежит представлению  $D_n^{(k)}$  типа  $k$  группы  $\tau_a$ , ибо

$$\begin{aligned} T(n)\psi(r) &= \psi(r - n) = e^{i(k,n)}e^{-i(k,r)}\Phi(r - n) = \\ &= e^{i(k,n)}e^{-i(k,r)}\Phi(r) = e^{i(k,r)}\psi(r). \end{aligned}$$

Пусть теперь  $\psi(r) \in D_n^{(k)}$ . Найдем общий вид функций  $\psi(r)$ . Так как  $\psi(r) \in D_n^{(k)}$ , то

$$T(n) \psi(r) = \psi(r - n) = e^{i(k,n)} \psi(r) \quad \text{при } \forall n \in Z_a,$$

откуда

$$\psi(r) = e^{-i(k,n)} \psi(r - n) \quad \text{при } \forall n \in Z_a. \quad (9.12)$$

Запишем функцию (9.12) в виде

$$\psi(r) = e^{-i(k,r)} \Phi(r), \quad (9.13)$$

где

$$\Phi(r) = e^{i(k,r-n)} \psi(r - n) \quad \text{при } \forall n \in Z_a. \quad (9.14)$$

Пусть  $n' \in Z_a$ . В силу (9.14)

$$\Phi(r + n') = e^{i(k,r-n+n')} \psi(r - n + n'). \quad (9.15)$$

Очевидно, что разность  $n - n'$  можно записать в виде

$$n - n' = \sum_{j=1}^3 d_j N_j a_j + n'',$$

где  $d_j = 0$  или  $d_j = \pm 1$ , а  $n'' \in Z_a$ . Так как  $\psi(r) \in L$ , то

$$\psi(r - n + n') = \psi(r - n'').$$

Кроме того, очевидно, что

$$e^{i(k, \sum_{j=1}^3 d_j N_j a_j)} = 1.$$

Поэтому и в следствие (9.15)

$$\Phi(r + n') = e^{i(k,r-n'')} \psi(r - n'').$$

Так как  $n'' \in Z_a$ , то в силу (9.14),  $\Phi(r + n') = \Phi(r)$  и теорема Блоха следует из (9.13).

**Замечание.** Теорему Блоха можно доказать и используя введенные в [2, § 5.2] проекторы  $P^{(k)}$  на подпространства функций трансляционной симметрии  $k$ , т. е. используя равенство

$$\psi(r) = P^{(k)}\psi(r) = \frac{1}{|\tau_a|} \sum_{n \in Z_a} e^{-i(k,n)} \psi(r - n),$$

где суммирование по  $n$  означает сумму по  $n_1, n_2, n_3, n_j = 0, 1, \dots, N_j - 1$ ,  $j = 1, 2, 3$ . Однако этот путь более громоздок, чем использованный нами.

**п.3.** Обсудим теперь трансляционные правила отбора. Пусть  $Q$  — возмущающий оператор,  $\varphi^{(k)}$  и  $f^{(k')}$  — функции, принадлежащие волновым векторам  $k$  и  $k'$ . Переход из состояния симметрии  $k$  в состояние симметрии  $k'$  под действием оператора  $Q$  называем запрещенным, если

$$(\varphi^{(k)}, Qf^{(k')}) = 0 \quad (9.16)$$

независимо ни от каких свойств функций  $\varphi^{(k)}$  и  $f^{(k')}$ , кроме их трансляционной симметрии. Пусть  $Q^{(m)} = P^{(m)}Q$ , где  $m$  — произвольный волновой вектор,  $\Gamma = \{m \mid m \in \text{ЗБ}, Q^{(m)} \not\equiv 0\}$  и

$$c^{k,k'}(m) = (\varphi^{(k)}, Q^{(m)}f^{(k')}).$$

Тогда для выполнения (9.16) достаточно, чтобы

$$c^{k,k'}(m) = 0 \text{ для всех } m \text{ из } \Gamma. \quad (9.17)$$

Согласно общей теории [2, гл. VII], выполнение (9.17) независимо от “внутренних” свойств  $\varphi^{(k)}$  и  $f^{(k')}$  возможно лишь тогда, когда

$$D_n^{(m)} \times D_n^{(k')} \times \bar{D}_n^{(k)} \not\ni D_n^{(0)}, \quad \forall m \in \Gamma, \quad (9.18)$$

где  $D_n^{(0)} \equiv 1$  — “матрица” тождественного представления. Так как все матрицы  $D_n^{(m)}, D_n^{(k')}, D_n^{(k)}$  — одномерные, то (9.18) означает, что

$$D_n^{(m)} D_n^{(k')} \bar{D}_n^{(k)} \not\ni 1, \quad \forall m \in \Gamma,$$

т. е. что при  $\forall m \in \Gamma$

$$e^{i(m,n)} e^{i(k',n)} e^{-i(k,n)} \not\equiv 1. \quad (9.19)$$

Но  $e^{i(m+k'-k,n)} \equiv 1$  при любом  $n$  только если представление типа  $m + k' - k$  эквивалентно тождественному, т. е. если

$$m + k' - k = 2\pi\ell$$

для какого-либо вектора  $\ell$  обратной решетки. Значит, условие запрещенности изучаемого перехода — условие равенства нулю элементов  $c^{k,k'}(m)$  при  $\forall m \in \Gamma$  — это неравенства

$$m + k' - k \neq 2\pi\ell \quad (9.20)$$

для  $\forall m \in \Gamma$  и  $\forall \ell$ ,  $\ell = \sum_{j=1}^3 \ell_j b_j$ ,  $\ell_j \in \mathbb{Z}$ . Ясно, что для любых конкретных значений  $m, k', k$  проверка условий (9.20) не может вызвать затруднений. Далее тип  $m$  фиксируем. Если  $k', k \in \text{ЗБ1}$ , то в силу (9.20) можно записать, что при  $\forall m \in \text{ЗБ1}$

$$c^{k,k'}(m) = b^{k,k'}(m) \sum_{\ell_1, \ell_2, \ell_3 = -1}^2 \delta_{m+k'-k, 2\pi\ell},$$

а при  $m = 0$

$$c^{k,k'}(0) = b^{k,k'}(0) \delta_{k',k}, \quad (9.21)$$

где  $b^{k,k'}(m)$  — некоторая константа.

Таким образом, в частности, для трансляционно-инвариантного возмущающего оператора  $Q = Q^{(0)}$  и  $k, k' \in \text{ЗБ1}$  переход запрещен при  $k \neq k'$ . Функции  $\varphi^{(k)}$  и  $f^{(k')}$  называются зацепляющимися, если  $\exists \ell$ ,  $\ell \in Z_b$ , так, что  $k' - k = 2\pi\ell$ . Очевидно, что при  $k', k \in \text{ЗБ}$  зацепление возможно только при  $k' = k$ .

**п.4.** В заключение рассмотрим вопрос о точечной симметрии обратной решетки. Пусть  $K_a$  и  $K_b$  — группы точечных преобразований, переводящих в себя соответственно решетки  $Z_a$  и  $Z_b$ . Докажем, что

$$K_a = K_b. \quad (9.22)$$

Пусть  $n = \sum_{i=1}^3 n_i a_i$ ,  $\ell = \sum_{i=1}^3 \ell_i b_i$ ,  $n_i, \ell_i \in \mathbb{Z}$ ,  $i = 1, 2, 3$ . Так как  $(a_j, b_s) = \delta_{js}$ , то  $(n, \ell) \in \mathbb{Z}$ . Пусть  $g \in K_a$ . Тогда  $gn \in Z_a$  и, значит,  $(gn, \ell) \in \mathbb{Z}$ . Так как оператор  $g$  — унитарен; то  $(gn, \ell) = (n, g^{-1}\ell)$ . Разложив  $g^{-1}\ell$  по базису  $b_1, b_2, b_3$  получим  $g^{-1}\ell = \alpha_1 b_1 + \alpha_2 b_2 + \alpha_3 b_3$  и, значит,

$$(gn, \ell) = n_1 \alpha_1 + n_2 \alpha_2 + n_3 \alpha_3 \in \mathbb{Z} \text{ при } \forall n_1, n_2, n_3.$$

Полагая  $n_j = 1$ ,  $n_i = 0$ ,  $i \neq j$ , мы получим, что  $\alpha_j \in \mathbb{Z}$ ,  $j = 1, 2, 3$ . А это значит, что  $g^{-1}\ell \in Z_b$ . Так как  $\{g^{-1} \mid g \in K_a\} = \{g \mid g \in K_a\}$ , то из последнего включения следует, что  $g'\ell \in Z_b$  при  $\forall g' \in K_a$  и, следовательно,  $K_a \subseteq K_b$ . Совершенно аналогично устанавливается включение  $K_b \subseteq K_a$  (сделать самостоятельно). Из этих включений следует равенство (9.22).

## 10. Пространственные группы и их представления

Если ты не любопытен —  
оставайся в дураках:  
ты не сделаешь открытий,  
не прославишься в веках

B. Шеффнер

### § 10.1. Пространственные группы кристаллов без включений и с включениями

**п.1.** Группа симметрии кристалла называется пространственной группой. Рассмотрим сначала кристалл без включений. В этом случае группа симметрии состоит из всех трансляций группы  $\tau_a = \left\{ t_n \mid n = \sum_{i=1}^3 n_i a_i, n_i \in \mathbb{Z}, t_{N_j a_j} = I, j = 1, 2, 3 \right\}$ , всех точечных преобразований группы  $K_a = \{\beta \mid \beta \in O(3), \beta Z_a = Z_a\}$  и их произведений  $t_n \beta$ ,  $\beta t_n$ ,  $t_n \in \tau_a$ ,  $\beta \in K_a$ . Положим

$$G_a = \{g \mid g = t_n \beta, t_n \in \tau_a, \beta \in K_a\}$$

и покажем, что множество элементов  $g \in G_a$  есть группа по умножению элементов  $g$  как операторов в  $R^3$ . Предварительно установим следующие полезные соотношения для  $\forall \omega_0, \omega_1, \omega_2 \in R^3$  и  $\forall \beta_0, \beta_1, \beta_2 \in K_a$ :

$$t_{\omega_1} \beta_1 t_{\omega_2} \beta_2 = t_{\beta_1 \omega_2 + \omega_1} \beta_1 \beta_2. \quad (10.1)$$

$$\beta_0 t_{\omega_0} = t_{\beta_0 \omega_0} \beta_0, \quad (10.2)$$

$$(t_{\omega_0} \beta_0)^{-1} = t_{-\beta_0^{-1} \omega_0} \beta_0^{-1}, \quad (10.3)$$

где  $t_\omega r = r + \omega$  при  $\forall r, \omega \in R^3$ .

Равенство (10.3) следует из (10.1), если там положить  $\omega_1 = \omega_0$ ,  $\beta_1 = \beta_0$ ,  $\omega_2 = -\beta_0^{-1} \omega_0$ ,  $\beta_2 = \beta_0^{-1}$ . Тогда в (10.1)  $\beta_1 \beta_2 = e_0$ ,  $\beta_1 \omega_2 + \omega_1 = 0$ , и в правой части (10.1) получим  $t_{\beta_1 \omega_2 + \omega_1} \beta_1 \beta_2 = e_0 = I$ . Для проверки (10.1) и (10.2) достаточно применить входящие туда операторы к любому  $r \in R^3$ . Действительно,

$$t_{\omega_1} \beta_1 t_{\omega_2} \beta_2 r = t_{\omega_1} \beta_1 (\beta_2 r + \omega_2) = \beta_1 \beta_2 r + \beta_1 \omega_2 + \omega_1 = t_{\beta_1 \omega_2 + \omega_1} \beta_1 \beta_2 r$$

и (10.1) доказано. Далее,  $\beta_0 t_{\omega_0} r = \beta_0 (r + \omega_0) = \beta_0 r + \beta_0 \omega_0 = t_{\beta_0 \omega_0} \beta_0 r$ , т. е. (10.2) верно.

Используем теперь соотношения (10.1) - (10.3) в случае, когда вектора  $\omega_i$ ,  $i = 0, 1, 2$ , не произвольны, а принадлежат решетке Браве. В этом случае  $\beta_1 \omega_2 + \omega_1 \in Z_a$ ,  $\beta_0 \omega_0 \in Z_a$  и  $-\beta_0^{-1} \omega_0 \in Z_a$ . Поэтому из равенства (10.1) следует, что произведение элементов из  $G_a$  лежит в  $G_a$ , т. е. что  $G_a$  — группа. Равенство (10.3) дает выражение для обратного элемента  $g_0^{-1}$  при  $g_0 = t_{\omega_0} \beta_0$ , а равенство (10.2) показывает, что наряду с произведениями  $t_n \beta$  группа  $G_a$  содержит и произведения  $\beta_0 t_{\omega_0}$  при  $\forall \beta_0 \in K_a$ ,  $\omega_0 \in Z_a$ . Во всех этих рассуждениях мы пользовались тем фактом, что  $\beta n \in Z_a$  при  $\forall \beta \in K_a$  и  $\forall n \in Z_a$ , т. е. что любые трансляции из  $\tau_a$  можно сочетать с любыми точечными преобразованиями из  $K_a$ .

**Вопрос.** Верно ли равенство  $G_a = \tau_a \times K_a$ ?

**п.2.** Принципиально иная по сравнению с п.1 ситуация возникает при изучении симметрии кристалла с включениями. Обозначим через  $Z$  решетку кристалла с включениями и через  $G$  – группу его симметрии. В этом случае возможна ситуация, когда при  $\gamma \in K_a$  и некотором  $d \in R^3$  выполняется  $t_d \gamma Z = Z$ , но  $\gamma Z \neq Z$  и  $t_d Z \neq Z$ . Другими словами трансляция  $t_d$  на вектор  $d$  и точечное преобразование  $\gamma$  по отдельности не являются преобразованиями симметрии кристалла  $Z$  ( $t_d \notin G$ ,  $\gamma \notin G$ ), а их произведение – является ( $t_d \gamma \in G$ ).

Примером кристалла, в котором имеет место описанная ситуация, является кристалл алмаза. Чтобы построить его решетку, возьмем кубическую решетку, в узлах которой находятся атомы углерода, поместим в центр каждой грани атом углерода и затем сдвинем полученную решетку в направлении главной диагонали куба на  $1/4$  её длины. Полученная таким образом решетка  $Z$  и есть решетка алмаза. Полное исследование симметрии  $Z$  весьма громоздко (с ним можно ознакомиться, например, в [4]), а здесь мы проследим лишь за несколькими узлами решетки  $Z$ , расположеннымными на главной диагонали (рис. 10.1).

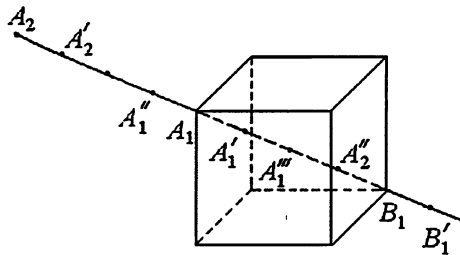


Рис. 10.1

Пусть  $A_2, A_1, B_1$  – вершины кубов, последовательно расположенные на главной диагонали одного из кубов,  $\ell = A_1 B_1$ . После сдвига  $t_{\frac{\ell}{4}}$  появились узлы  $A'_2, A'_1, B'_1$  (входящие в  $Z$ ) та-

кие, что  $A_2A'_2 = A_1A'_1 = B_1B'_1 = \frac{\ell}{4}$ . Рассмотрим теперь два преобразования: трансляцию  $t_{\frac{\ell}{4}}$  и инверсию  $i$  относительно узла  $A_1$ . Каждое из этих преобразований не переводит  $Z$  в  $Z$ . Действительно, например  $iA'_1 = A''_1 \notin Z$ ,  $t_{\frac{\ell}{4}}A'_1 = A'''_1 \notin Z$ , и, значит,  $i \notin G$ ,  $t_{\frac{\ell}{4}} \notin G$ .

Рассмотрим теперь преобразование  $g = t_{\frac{\ell}{4}}i$ . Имеем

$$gA_2 = t_{\frac{\ell}{4}}iA_2 = t_{\frac{\ell}{4}}B_1 = B'_1 \in Z, \quad gA'_2 = t_{\frac{\ell}{4}}A''_2 = B_1 \in Z,$$

$$gA_1 = A'_1 \in Z, \quad gA'_1 = A_1 \in Z, \quad gB_1 = A'_2 \in Z, \quad gB'_1 = A_2 \in Z$$

и т.д. Таким образом преобразование  $g = t_{\frac{\ell}{4}}i$  переводит рассмотренные нами узлы решетки алмаза в узлы этой же решетки. Можно доказать (см. [4]), что ситуация с любыми другими узлами аналогична, т.е. что  $t_{\frac{\ell}{4}}iZ = Z$ , несмотря на то, что  $iZ \neq Z$ ,  $t_{\frac{\ell}{4}}Z \neq Z$ .

**п.3.** Рассмотренный пример показывает, что определение группы симметрии  $G$  кристалла с включениями не может быть таким же, как определение группы симметрии  $G_a$  кристалла без включений, где любые трансляции можно было комбинировать с любыми точечными преобразованиями. Чтобы дать новое определение, в первую очередь вместо точечной группы  $K_a$  ("работавшей" в кристалле без включений) введем в рассмотрение ее подгруппу  $F$ , учитываяющую возможные включения:

$$F = \{\beta \mid \beta \in K_a, \exists (n+d) \text{ так, что } t_{n+d}\beta Z = Z\}.$$

Здесь и далее через  $d$  мы обозначаем вектора, не являющиеся векторами решетки Браве  $Z_a$ , или нуль-вектор, а трансляцию  $t_{n+d}$  на вектор  $(n+d) \notin Z_a$  назовем несобственной. Таким образом  $F$  — это множество таких преобразований из  $K_a$ , для каждого из которых найдется такая трансляция  $t_{n+d}$  (возможно, несобственная), что преобразование  $t_{n+d}\beta$  переводит кристалл  $Z$  в себя. Покажем, что  $F$  — подгруппа группы  $K_a$ . Для этого достаточно установить, что произведение  $\beta\beta' \in F$  при  $\forall \beta, \beta' \in F$ .

Так как  $\beta, \beta' \in F$ , то  $\exists(n + d)$  и  $(n' + d')$  так, что для элементов  $g = t_{n+d}\beta$ ,  $g' = t_{n'+d'}\beta'$  выполняется  $gZ = Z$ ,  $g'Z = Z$ . Пусть  $g'' = gg'$ . Тогда, очевидно,  $g''Z = gg'Z = gZ = Z$ . В силу (10.1) с  $\omega_1 = n + d$ ,  $\beta_1 = \beta$ ,  $\omega_2 = n' + d'$ ,  $\beta_2 = \beta'$  имеем

$$g'' = t_{n''+d''}\beta'', \quad (10.4)$$

где  $\beta'' = \beta\beta'$ ,  $n'' = \beta n' + n \in Z_a$ ,  $d'' = \beta d' + d$ . Так как  $g''Z = Z$ , то мы получили, что для вращения  $\beta'' = \beta\beta'$  нашелся такой сдвиг  $n'' + d''$ , что  $t_{n''+d''}\beta''Z = Z$ . Значит,  $\beta'' = \beta\beta' \in F$ , т. е.  $F$  – группа. Далее полезно заметить, что для элемента  $g = t_{n+d}\beta$  в силу (10.3) с  $\omega_0 = n + d$ ,  $\beta_0 = \beta$  выполняется

$$(t_{n+d}\beta)^{-1} = t_{\hat{n}+\hat{d}}\beta^{-1}, \quad (10.5)$$

где  $\hat{n} = -\beta^{-1}n \in Z_a$ ,  $\hat{d} = -\beta^{-1}d$ .

Разные группы  $F$  при одной и той же группе  $K_a$  определяют классификацию кристаллов по симметрии в зависимости от включений внутри одной и той же сингонии.

Теперь мы можем определить группу  $G$  пространственной симметрии кристалла с включениями. Положим

$$G = \{g \mid g = t_{n+d}\beta, \beta \in F, gZ = Z\}.$$

В силу (10.4) произведение  $g'' = gg' \in G$  при  $\forall g, g' \subseteq G$ . Поэтому  $G$  – группа. Представления группы  $G$  мы начнем изучать в § 10.2. А здесь мы сделаем только два замечания, описывающих некоторые отличия групп  $G$  и  $G_a$ .

1. При  $t_n\beta \in G_a$  выполняется  $\beta t_n \in G_a$ . При  $t_{n+d}\beta \in G$  включение  $\beta t_{n+d} \in G$  может не выполняться. Действительно, в силу (10.2) с  $\beta_0 = \beta$ ,  $\omega_0 = n + d$ , мы имеем  $g_0 := \beta t_{n+d} = t_{\beta n+\beta d}\beta$  и  $g_0$  может не принадлежать  $G$ , что видно и из примера п.2.

2. Пусть  $g \rightarrow T_g$  – произвольное представление группы  $G$ . Тогда если  $g = t_n\beta \in G$ , то  $\beta \in G$  (почему?) и  $T_g = T_{t_n}T_\beta$ . Однако при  $g = t_{n+d}\beta \in G$  аналогичное равенство  $T_g = T_{t_{n+d}}T_\beta$  в общем случае невозможно, ибо в общем случае  $t_{n+d} \notin G$ ,  $\beta \notin G$  и тогда операторы  $T_{t_{n+d}}$  и  $T_\beta$  просто не определены.

**§ 10.2. Разбиение пространства неприводимого представления пространственной группы.  
Звезда вектора  $k$ .**

п.1. Пусть задан кристалл  $Z$  и группа его пространственной симметрии

$$G = \{g \mid g = t_{n+d}\beta, \beta \in F, gZ = Z\}.$$

Рассмотрим неприводимое представление  $g \rightarrow T_g$  группы  $G$  операторами  $T_g$ , действующими в каком-либо конечномерном пространстве  $L$ . Так как  $\tau_a = \{t_n \mid t_n Z = Z\} \subset G$ , то мы можем рассмотреть представление  $g \rightarrow T_g$  в  $L$  при  $g = t_n \in \tau_a$ , т. е. можно сузить рассматриваемое представление с группы  $G$  на её подгруппу  $\tau_a$ . Разумеется, полученное при этом представление  $t_n \rightarrow T(n)$ ,  $t_n \in \tau_a$ , может оказаться приводимым в  $L$ . С помощью проекторов  $P^{(k)}$  (см. Замечание к п.9.4.2) разобьем пространство представления  $L$  в сумму подпространств  $L_k = P^{(k)}L$ :

$$L = \sum_k \oplus L_k, \quad (10.6)$$

в каждом из которых представление  $t_n \rightarrow T(n)$  имеет тип  $k$ , то есть при  $q_k \in L_k$  выполняется  $T(n)q_k = e^{i(k,n)}q_k$ . Далее фиксируем какое-либо значение  $k$ . Пусть  $g = t_{n+d}\beta \in G$ ,  $q' = T_g q_k$ , где  $q_k \in L_k$ . Ясно, что  $q' \in L$ . Выясним тип трансляционной симметрии вектора  $q'$ . Пусть  $n_0 \in Z_a$ . Вычислим  $T(n_0)q' = T(n_0)T_g q_k$ . Для этого заметим, что в силу (10.2)

$$t_{n_0}t_{n+d}\beta = t_{n+d}t_{n_0}\beta = t_{n+d}\beta t_{\beta^{-1}n_0},$$

то есть

$$t_{n_0}g = gt_{\beta^{-1}n_0}, \quad (10.7)$$

где  $\beta^{-1}n_0 \in Z_a$ . Так как представление есть гомоморфизм, то из (10.7) следует, что

$$T(n_0)T_g = T_gT(\beta^{-1}n_0). \quad (10.8)$$

Поэтому

$$\begin{aligned} T(n_0)q' &= T(n_0)T_gq_k = T_gT(\beta^{-1}n_0)q_k = T_g e^{i(k, \beta^{-1}n_0)} q_k = \\ &= e^{i(\beta k, n_0)} q'. \end{aligned}$$

Следовательно, вектор  $q'$  из  $L$  обладает трансляционной симметрией типа  $\beta k$ . Значит, в разложении (10.6) должно присутствовать пространство  $L_{\beta k}$ , и мы можем сказать, что  $T_g q_k \in L_{\beta k}$ , или что

$$T_g L_k \subseteq L_{\beta k}. \quad (10.9)$$

Покажем, что на самом деле  $T_g L_k = L_{\beta k}$ . Действительно, взяв произвольный вектор  $q_{\beta k} \in L_{\beta k}$  и применив к нему оператор  $T_{g^{-1}}$  мы получим, что  $T_{g^{-1}}q_{\beta k} \subseteq L_k$ , или что

$$T_{g^{-1}}L_{\beta k} \subseteq L_k. \quad (10.10)$$

Так как операторы  $T_g$  и  $T_{g^{-1}}$  — унитарны, то в силу (10.9), (10.10)

$$\dim L_k = \dim T_g L_k \leq \dim L_{\beta k}$$

и

$$\dim L_{\beta k} = \dim T_{g^{-1}}L_{\beta k} \leq \dim L_k.$$

Значит,  $\dim L_k = \dim L_{\beta k}$  и поэтому  $T_g L_k = L_{\beta k}$ .

Из приведенных рассуждений следуют два заключения.

1. Если пространство  $L_k$  входит в сумму (10.6), то в эту же сумму входят все пространства  $L_{\beta k}$ ,  $\beta \in F$ ;
2. Все пространства  $L_{\beta k}$  имеют одинаковую размерность и получаются из  $L_k$  применение операторов  $T_g$  при  $g = t_{n+d}\beta$ ,  $\beta \in F$ .

**п.2.** Рассмотрим множество векторов  $\{\beta_s k \mid \beta_s \in F, s = 1, 2, \dots, |F|\}$ , где  $|F|$  — число элементов группы  $F$ . Будем считать элементы группы  $F$  занумерованными так, что для некоторого  $m$  вектора  $k_j = \beta_j k$ ,  $j = 1, 2, \dots, m$ , различны, а каждый из векторов  $k_s = \beta_s k$  при  $s > m$  совпадает с одним из векторов  $k_1, \dots, k_m$ <sup>2)</sup>. Обычно в качестве  $\beta_1$  берут единичный элемент, так что  $k_1 = k$  и поэтому  $k_j = \beta_j k_1$ ,  $j = 1, 2, \dots, m$ . Множество  $3(k) := \{k_1, k_2, \dots, k_m\}$  называется звездой вектора  $k$ , а число  $m$  — порядком звезды.

**Задание.** Доказать, что если  $k_j \in 3(k)$ , то  $k \in 3(k_j)$ .

Так как в разложении (10.6) наряду с пространством  $L_k$  входят все пространства  $L_{\beta_j k}$ ,  $j = 2, \dots, m$ , то мы можем сказать, что каждый вектор  $k$  входит в (10.6) вместе со своей звездой. Однако пока нельзя утверждать, что

$$L = \sum_{i=1}^m \oplus L_{k_i},$$

ибо пока не исключен случай

$$L = \sum_{i=1}^m \oplus L_{k_i} + \sum_{\tilde{k}, \tilde{k} \notin 3(k)} \oplus L_{\tilde{k}},$$

где  $\tilde{k} \notin 3(k)$  означает, что  $\tilde{k} \neq k_j$ ,  $j = 1, 2, \dots, m$ .

**п.3. Лемма.** Имеет место равенство

$$L = \sum_{i=1}^m \oplus L_{k_i}. \quad (10.11)$$

---

<sup>2)</sup>Напомним (см. § 9.3), что равенство векторов  $k = \tilde{k}$  означает, что  $\exists \ell, \ell \in Z_b$  так, что  $k - \tilde{k} = 2\pi\ell$ . Соответственно, неравенство  $k \neq \tilde{k}$  значит, что  $k - \tilde{k} \neq 2\pi\ell$  ни для каких  $\ell$  из  $Z_b$ .

**Доказательство.** Пусть

$$\hat{L} := \sum_{i=1}^m \oplus L_{k_i}. \quad (10.12)$$

Ясно, что  $\hat{L} \subseteq L$ . Покажем, что  $\hat{L} = L$ . Для этого установим сначала включение  $T_g L_{k_i} \subseteq \hat{L}$  при  $\forall g \in G, i = 1, \dots, m$ . Пусть  $g = t_{n+d}\beta$ . По доказанному,  $T_g L_{k_i} = L_{\beta\beta; k_1}$ . Пусть  $\beta' = \beta\beta_i$ . По определению звезды  $\mathcal{Z}(k), \beta'k_1 \in \mathcal{Z}(k_1)$  и значит  $\exists s, 1 \leq s \leq m$  так, что  $T_g L_{k_i} = L_{k_s}$ . Поэтому и в силу (10.12)  $T_g L_{k_i} \subseteq \hat{L}$  и, значит, подпространство  $\hat{L} \subseteq L$  инвариантно для операторов  $T_g$ . А так как представление  $g \rightarrow T_g$  неприводимо в  $L$ , то  $\hat{L} = L$ .

Таким образом, мы доказали, что при сужении неприводимого представления  $g \rightarrow T_g, g \in G$ , в пространстве  $L$  с группы  $G$  на группу  $\tau_a$ , пространство  $L$  разбивается в прямую сумму подпространств  $L_{k_i}$ , отвечающих звезде вектора  $k$ , и что в каждом из этих подпространств представление  $t_n \rightarrow T(n)$  кратно неприводимому представлению типа  $k_i$ . Отметим, что в качестве исходного вектора  $k$  можно было взять любой из векторов  $k'$ , для которых  $P^{(k')}L \neq \{\theta\}$ , т. е. любой из векторов  $k$ , для которого пространство  $L_k$  входит в разложение (10.6).

### § 10.3. Группа вектора $k$ . Малые представления

п.1. Пусть

$$H_k = \{g \mid g \in G, g = t_{n+d}\beta, \beta \in F, \beta k = k\}.$$

Множество  $H_k$  является подгруппой  $G$ , так как для любых  $g = t_{n+d}\beta \in H_k, g' = t_{n'+d'}\beta' \in H_k$  произведение  $gg' \in H_k$ , ибо в силу (10.1)  $gg' = t_{\tilde{n}+\tilde{d}}\beta\beta'$ , где  $\beta\beta'k = \beta k = k$ , а через  $\tilde{n}$  и  $\tilde{d}$  здесь и далее обозначаются вектора собственного и несобственного (при

$\tilde{d} \neq 0$ ) сдвигов, если их конкретные значения для нас не важны. Группа  $H_k$  называется группой вектора  $k$ . Она определяется выбранным вектором  $k$  и группой  $F$ .

Введем группу

$$F_k = \{\beta \mid \beta \in F, \beta k = k\}.$$

Ясно, что  $F_k$  — подгруппа  $F$ , и что

$$H_k = \{g \mid g \in G, g = t_{n+d}\beta, \beta \in F_k\}.$$

Группа  $H_k$  формально никак не связана с представлениями группы  $G$ . Однако на самом деле такая связь имеется. Пусть  $g \rightarrow T_g$  — представление группы  $G$ , определенное в § 10.2, вектор  $k$  такой, что  $P^{(k)}L \neq \{\theta\}$  и

$$H'_k = \{g \mid g \in G, T_g L_k = L_k\}.$$

Тогда  $H'_k = H_k$ . (Докажите это!)

**п.2.** Изучим некоторые свойства группы  $H_k$ . Разложим группу  $G$  на левые смежные классы по группе  $H_k$ :

$$G = \sum_{i=1}^{n'} g'_i H_k, \quad (10.13)$$

где  $g'_i = t_{n(i)+d(i)}\beta'_i$  — некоторые элементы из  $G$ . Выбор этих элементов не однозначен (почему?). Поэтому мы для определенности фиксируем какой-либо набор  $g'_i$ , где  $g'_1 = e_0$ , а остальные  $g'_i$ ,  $i \geq 2$ , — произвольны.

**Лемма 1.** Множество  $\mathcal{Z}'(k) = \{k'_i \mid k'_i = \beta'_i k, i = 1, 2, \dots, m'\}$  совпадает со звездой вектора  $k$ .

**Доказательство.** Чтобы получить звезду  $\mathcal{Z}(k)$  вектора  $k$  нам надо рассмотреть вектора  $\beta k$  для всех  $\beta \in F$  и выбрать из них различные. А чтобы получить все  $\beta$  из  $F$  достаточно перебрать все элементы  $g$  из  $G$ . В силу (10.13) любой элемент  $g \in G$  имеет вид  $g = g'_i g_0$ , где  $g_0 \in H_k$  и элементы  $g_0$  и  $g'_i$  зависят от  $g$ .

Пусть  $g_0 = t_{n_0+d_0} \beta_0$ . Тогда  $g = t_{\tilde{n}+d} \beta'_i \beta_0$ , где  $\beta_0 \in F_k$ . Это значит, что

$$F = \{\beta \mid \beta = \beta'_i \beta_0, i = 1, 2, \dots, m'; \beta_0 \in F_k\}. \quad (10.14)$$

Поскольку  $\beta_0 k = k$ , то в силу (10.14)  $3(k) \subseteq 3'(k)$ , и нам остается показать только, что все элементы  $3'(k)$  — различны. Докажем это от противного. Предположим, что  $\exists i, j$ , для которых  $\beta'_i k = \beta'_j k$ , т. е.  $k = \beta_i'^{-1} \beta_j' k$  и, значит,  $\beta_i'^{-1} \beta_j' \in F_k$ . Поскольку  $g_i'^{-1} g_j' = t_{\tilde{n}+d} \beta_i'^{-1} \beta_j'$ , то  $g'_0 := g_i'^{-1} g_j' \in H_k$ . Значит  $g'_j = g'_i g'_0$  и поэтому в силу Леммы о сдвиге [1], примененной к группе  $H_k$ , классы  $g'_i H_k$  и  $g'_j H_k$  совпадают, что невозможно. Следовательно,  $\beta'_i k \neq \beta'_j k$  при  $i \neq j$  и  $3'(k) = 3(k)$ .

**Следствие.** Порядок  $m$  звезды вектора  $k$  равен  $m' = |G|/|H_k|$ .

Отметим, что хотя вектора из  $3(k)$  определены однозначно (с точностью до нумерации), вращения  $\beta_i$  в равенстве  $k_i = \beta_i k$  при фиксированном  $i$  определены лишь с точностью до произвольного множителя  $\beta_0 \in F_k$  (т. е. вместо  $\beta_i$  можно взять  $\beta_i \beta_0$ ). Для определенности считаем далее, что при построении  $3(k)$  мы взяли  $\beta_i = \beta'_i$ , причем  $\beta_1 = \beta'_1 = e_0$  — единичный элемент группы  $F$ . Далее штрихи у  $\beta'_i$  и у элементов  $g'_i$  в (10.13) опускаем и записываем (10.13) в виде

$$G = \sum_{i=1}^m g_i H_k. \quad (10.15)$$

**Вопрос.** Пусть элементы  $\bar{g}_i = t_{\tilde{n}(i)+d(i)} \bar{\beta}_i$ ,  $i = 1, 2, \dots, m$ , из  $G$  таковы, что вектора  $\bar{k}_i = \bar{\beta}_i k$ ,  $i = 1, 2, \dots, m$ , образуют  $3(k)$ . Будет ли верно разложение  $G = \sum_{i=1}^m \bar{g}_i H_k$ ? Ответ обосновать.

**п.3.** Представление  $g \rightarrow T_g$  группы  $H_k$  в произвольном пространстве  $R$  назовем нормальным, если при  $g = t_n \in \tau_a$  для любого вектора  $q \in R$  выполняется  $T_g q = T(n)q = e^{i(k,n)} q$ , т. е.

если матрица  $d(n) = \|T(n)\|$  оператора  $T(n)$  в  $R$  имеет вид:

$$d(n) = \begin{pmatrix} e^{i(k,n)} & & 0 \\ & \ddots & \\ 0 & & e^{i(k,n)} \end{pmatrix} = e^{i(k,n)} E_\mu, \quad \forall n \in Z_a,$$

где  $E_\mu$  — единичная матрица размерности  $\mu$ ,  $\mu = \dim R$ . Другими словами представление группы  $H_k$  в пространстве  $R$  нормальное, если все вектора из  $R$  имеют трансляционную симметрию  $k$ . Нормальное представление группы  $H_k$  называется малым; иначе говоря, малое представление — это представление группы  $H_k$  в пространстве трансляционной симметрии  $k$ .

Рассмотрим произвольное представление  $g \rightarrow T_g$  группы  $G$  в пространстве  $L$ . Тогда при  $g \in H_k$  мы получим в пространстве  $L_k = P^{(k)}L$  малое представление  $g \rightarrow T_g$ , порожденное представлением пространственной группы  $G$  в  $L$ . Далее для краткости мы иногда будем называть представление группы  $G$  в  $L$  большим.

**Лемма 2.** *Если большое представление неприводимо, то порожденное им в пространстве  $L_k$  малое представление группы  $H_k$  тоже неприводимо.*

**Доказательство** проведем от противного. Пусть  $g \rightarrow T_g$  — неприводимое представление группы  $G$  в пространстве  $L$ . Предположим, что порожденное им представление  $g \rightarrow T_g$  группы  $H_k$  в пространстве  $L_k$  приводимо, и обозначим через  $\hat{L}_k$  подпространство  $L_k$ , инвариантное для операторов  $T_g$ ,  $g \in H_k$ . Положим  $\hat{L}_{k_i} = T_{g_i} \hat{L}_k$ , где элементы  $g_i$  взяты из (10.15), и докажем, что пространство

$$\hat{L} = \sum_{i=1}^m \oplus \hat{L}_{k_i} \tag{10.16}$$

инвариантно для операторов  $T_g$ ,  $g \in G$ . Имеем

$$T_g \hat{L}_{k_i} = T_g T_{g_i} \hat{L}_{k_1} = T_{gg_i} \hat{L}_{k_1}. \tag{10.17}$$

В силу (10.15)  $gg_i = g_j g_0$  для некоторых  $j$ ,  $1 \leq j \leq m$ , и  $g_0 \in H_k$ ,

зависящих от  $g_i$  и  $g$ . Поэтому

$$T_{gg_i} \hat{L}_{k_1} = T_{g_j g_0} \hat{L}_{k_1} = T_{g_j} T_{g_0} \hat{L}_{k_1} = T_{g_j} \hat{L}_{k_1} = \hat{L}_{k_j}. \quad (10.18)$$

Здесь использовано сделанное предположение об инвариантности подпространства  $\hat{L}_k$  для операторов  $T_{g_0}$ ,  $g_0 \in H_k$ . В силу (10.17) и (10.18) оператор  $T_g$  переводит каждое подпространство  $\hat{L}_{k_i}$  в одно из подпространства  $\hat{L}_{k_j}$ ,  $1 \leq j \leq n$ , где номер  $j$  зависит от  $i$  и от элемента  $g$ . Поэтому действие оператора  $T_g$  на пространство  $\hat{L}$  выражается лишь в перестановке слагаемых в прямой сумме (10.16) и, значит,  $\hat{L}$  инвариантно для  $T_g$ . Но представление  $g \rightarrow T_g$ ,  $g \in G$ , неприводимо в  $L$  и поэтому или  $\hat{L} = \{\theta\}$  или  $\hat{L} = L$ . Но оба равенства невозможны: первое — так как  $\hat{L} \supset \hat{L}_k \neq \{\theta\}$ , второе — так как  $\dim \hat{L} = m \dim \hat{L}_k < m \dim L_k = \dim L$ . Следовательно, рассматриваемое малое представление неприводимо.

## 11. Построение представлений пространственной группы

И куда ступила наша нога,  
Оттуда мы не уйдем

*P. Киплинг*

### § 11.1. Восстановление “большого” представления по известному малому

**п.1.** Малые представления играют основную роль в классификации больших представлений и в их построении. В настоящем параграфе мы докажем, что зная неприводимое представление группы  $H_k$ , порожденное некоторым неприводимым представлением  $g \rightarrow T_g$  группы  $G$ , и зная звезду вектора  $k$ , мы можем восстановить представление  $g \rightarrow T_g$ ,  $g \in G$ . Другими словами, мы докажем, что большое представление определяется малым (разумеется, с точностью до эквивалентного).

Итак, пусть нам задано неприводимое представление группы  $H_k$  в пространстве  $L_k$ , порожденное неприводимым представлением  $g \rightarrow T_g$ ,  $g \in G$ , в пространстве  $L$ , т. е. нам заданы операторы  $T_g$ ,  $g \in H_k$ , в пространстве  $L_k$  и пространство  $L$ . Выберем в  $L_k$  произвольный ортонормированный базис  $e_1^{(1)}, \dots, e_\mu^{(1)}$  и найдем матрицы  $d(g)$  операторов представления  $T_g$ ,  $g \in H_k$ , в пространстве  $L_k$  в этом базисе. После этого разложим пространство  $L$  в сумму (10.6) (мы можем это сделать не зная представления  $g \rightarrow T_g$ ,  $g \in G$ , а используя только проекторы  $P^{(k)}$  и знание звезды вектора  $k$ ) и выберем абсолютно произвольно ортонормированные базисы  $e_1^{(j)}, \dots, e_\mu^{(j)}$  в пространствах  $L_{kj}$ ,  $j = 2, 3, \dots, m$ , где  $m = |\mathcal{Z}(k)|$ . Вектора  $e = (e_1^{(1)}, \dots, e_\mu^{(1)}, \dots, e_1^{(m)}, \dots, e_\mu^{(m)})$  образуют базис в пространстве  $L$ . Далее разложим группу  $G$  согласно (10.15) и введем в  $L$  еще один базис  $\bar{e} = \{\bar{e}_i^{(j)}, i = 1, 2, \dots, \mu, j = 1, 2, \dots, m\}$ , состоящий из (ортонормированных) векторов  $\bar{e}_i^{(j)} = T_{g_j} e_i^{(1)}$ ,  $i = 1, 2, \dots, \mu$ ,  $j = 1, \dots, m$ , где  $\bar{e}_i^{(1)} = e_i^{(1)}$  (ибо  $T_{g_1} = T_{e_0}$  — тождественный оператор). Отметим, что вектора  $\bar{e}_i^{(j)}$  при  $j \geq 2$  нам неизвестны, ибо при  $j \geq 2$  не известны операторы  $T_{g_j}$ . Обозначим через  $P$  оператор перехода от базиса  $e$  к базису  $\bar{e}$ .

Отметим, что матрица  $\|P\|$  имеет блочно-диагональный вид, где блоки суть квадратные матрицы  $\|P_j\|$ ,  $j = 1, 2, \dots, m$ , размерности  $\mu$  операторов перехода  $P_j$  от  $e_i^{(j)}$  к  $\bar{e}_i^{(j)}$ ,  $i = 1, 2, \dots, \mu$ :

$$\bar{e}_i^{(j)} = P_j e_i^{(j)} = P e_i^{(j)}. \quad (11.1)$$

Пусть  $T'_g = P^{-1} T_g P$ . Представление  $g \rightarrow T'_g$  эквивалентно представлению  $g \rightarrow T_g$ .

**п.2.** Покажем, что операторы  $T'_g$  можно найти, зная только малое представление (и не зная операторов  $P$ ). Имеем

$$T'_g e_i^{(j)} = P^{-1} T_g P e_i^{(j)} = P^{-1} T_g \bar{e}_i^{(j)}. \quad (11.2)$$

Далее

$$T_g \bar{e}_i^{(j)} = T_g T_{g_j} \bar{e}_i^{(1)} = T_{gg_j} e_i^{(1)}.$$

В силу (10.15) для каких-то  $g_s$  и  $g_0 \in H_k$  выполняется  $gg_j = g_sg_0$ . Поэтому

$$\begin{aligned} T_g \bar{e}_i^{(j)} &= T_{g_s g_0} e_i^{(1)} = T_{g_s} T_{g_0} e_i^{(1)} = T_{g_s} \sum_{p=1}^{\mu} d(g_0)_{pi} e_p^{(1)} = \\ &= \sum_{p=1}^{\mu} d(g_0)_{pi} \bar{e}_p^{(s)}. \end{aligned}$$

Подставляя выражение  $T_g \bar{e}_i^{(j)}$  в (11.2) и учитывая (11.1), получим

$$T'_g e_i^{(j)} = \sum_{p=1}^{\mu} d(g_0)_{pi} e_p^{(s)}. \quad (11.3)$$

Равенство (11.3) выражает матричные элементы оператора  $T'_g$  в базисе  $e$  через известные матричные элементы  $d(g_0)_{pi}$  матрицы малого представления. Отметим, что как видно из (11.3), матрица  $\|T'_g\|$  не зависит от  $P$ . Таким образом, мы построили представление  $g \rightarrow T'_g$  эквивалентное исходному представлению  $g \rightarrow T_g$ , используя только 1) знание представления группы вектора  $k$  (т. е. знание операторов  $T_g$  при  $g \in H_k$  в пространстве  $L_k$ ) и 2) знание звезды вектора  $k$ .

**п.3.** Покажем, что большое представление определяется малым однозначно. Действительно, пусть  $g \rightarrow \tilde{T}_g$ ,  $g \in G$ , — какое-либо представление группы  $G$ , для которого в пространстве  $L_k$  выполняется  $\tilde{T}_g = T_g$ ,  $g \in H_k$ . Покажем, что  $T_g \sim \tilde{T}_g$ ,  $g \in G$ . Пусть базис  $e$  — тот же, что в п.1, а базис  $\tilde{e} = \left\{ \tilde{e}_i^{(j)}, i = 1, \dots, \mu, s = 1, 2, \dots, m \right\}$  состоит из векторов  $\tilde{e}_i^{(j)} = \tilde{T}_{g_j} e_i^{(1)}$ . Обозначим через  $\tilde{P}$  оператор перехода от базиса  $e$  к базису  $\tilde{e}$ :  $\tilde{e}_i^{(j)} = \tilde{P} e_i^{(j)}$  и положим  $T''_g = \tilde{P}^{-1} \tilde{T}_g \tilde{P}$ . Тогда в силу рассуждений п.2 (см. (11.3)) мы получим, что

$$T''_g e_i^{(j)} = T'_g e_i^{(j)}, \quad \forall i, j.$$

Следовательно,  $T'_g \equiv T''_g \sim \tilde{T}_g$ . Но  $T'_g \sim T_g$  и, значит, представления  $g \rightarrow T_g$  и  $g \rightarrow \tilde{T}_g$  эквивалентны.

**п.4.** Вернемся теперь к соотношению (11.3) и обсудим вид матриц  $D'_g = \|T'_g\|_e$ . Разобьем  $D'_g$  на суперстроки и суперстолбцы так, что суперстолбец (суперстрока) с номером  $t$  состоит из  $\mu$  столбцов (строк) с номерами  $(t-1)\mu + t'$ ,  $t' = 1, 2, \dots, \mu$ ,  $t = 1, 2, \dots, m$ . Тогда в силу (11.3) на пересечении  $j$ -го суперстолбца и  $s$ -й суперстроки будет находиться матрица коэффициентов разложения векторов  $T'_g e_i^{(j)}$ ,  $i = 1, 2, \dots, \mu$ , по векторам  $e_p^{(s)}$ ,  $p = 1, 2, \dots, \mu$ . Далее, в силу (11.3) в  $j$ -м суперстолбце матрицы  $D'_g$  не нулевым будет только блок, расположенный в  $s$ -й суперстроке, и этот блок совпадает с матрицей  $d(g_0)$  малого представления; здесь номер суперстроки  $s$  и элемент  $g_0$  из  $H_k$  определяются из справедливого в силу (10.15) равенства

$$gg_j = g_s g_0. \quad (11.4)$$

При этом в каждой суперстроке матрицы  $D'_g$  будет только один ненулевой блок. Действительно, общее число не нулевых блоков матрицы  $D'_g$  равно  $m$  (в каждом суперстолбце по одному). Поэтому если в одной из  $m$  суперстрок окажется не менее двух не нулевых блоков, то в какой-то другой суперстроке все блоки будут нулевыми и тогда  $\det D'_g = 0$ , что невозможно, ибо  $\det D'_g = \det \|T_g\| \neq 0$ .

В заключение полезно заметить, что при заданных представлении  $g \rightarrow T_g$  и базисе  $\tilde{e}_i^{(s)} = T_{g_s} e_i^{(1)}$  матрица  $P$  в (11.1) определяется выбором базиса  $e_i^{(s)}$ . Этот выбор — произволен, но после того, как он сделан, мы получаем, что

$$T'_{g_s} e_i^{(1)} = e_i^{(s)}.$$

Это следует из (11.2) и (11.4) (проверить самостоятельно).

**Задание.** Вместо разложения (10.15) рассмотрим разложение

$$G = \sum_{i=1}^m \hat{g}_i H_k,$$

где  $\hat{g}_i \in g_i H_k$ ,  $\hat{g}_1 = e_0$ . Далее вводим базисы  $e$  как и в п.1 и  $\hat{e} = \{\hat{e}_i^{(j)}\}$ ,  $i = 1, \dots, \mu$ ,  $j = 1, \dots, m\}$ , где  $\hat{e}_i^{(j)} = T_{\hat{g}_j} e_i^1$ . После этого построим представление  $g \rightarrow \hat{T}_g$  аналогично представлению  $g \rightarrow T'_g$ . Найти связь между операторами  $T'_g$  и  $\hat{T}_g$ .

## § 11.2. Построение представлений пространственной группы

**п.1.** В § 11.1 мы восстановили — с точностью до эквивалентного — представление группы  $G$  по тому представлению группы  $H_k$  в пространстве  $L_k$ , которое порождается представлением группы  $G$  в пространстве  $L$ . Здесь мы рассмотрим близкую, но другую задачу. Фиксируем значение  $k$  из зоны Бриллюэна, построим группу  $H_k$  и зададим любое нормальное неприводимое представление  $H_k$ . Вопрос: существует ли такое неприводимое представление группы  $G$ , которое при сужении его на группу  $H_k$  совпадает с заданным малым представлением? Ответ — положительный — будет получен ниже и этот ответ позволяет классифицировать и строить большие представления с помощью малых.

**Теорема.** Пусть  $k = k_1$  — произвольный волновой вектор,  $g \rightarrow T_g^0$  — нормальное неприводимое представление группы  $H_k$  в пространстве  $L_k$ . Тогда существует единственное (с точностью до эквивалентного) неприводимое представление  $g \rightarrow T_g$ , группы  $G$  в некотором пространстве  $L \supseteq L_k$ , для которого при  $g \in H_k$  выполняется  $T_g = T_g^0$  в  $L_k$ .

**Замечание.** В условии теоремы говорится об операторном задании малого представления, однако это не является ограничением. Если малое представление было задано в матричной форме

$g \rightarrow d(g)$ ,  $g \in H_k$  и  $\mu = \dim d(g)$ , то мы легко можем перейти к операторному представлению. Для этого достаточно взять произвольное линейное пространство  $L_k$  размерности  $\mu$ , выбрать в нем ортонормированный базис  $e_1^{(1)}, \dots, e_\mu^{(1)}$  и определить операторы  $T_g^0$  в пространстве  $L_k$  соотношениями:

$$T_g^0 e_i^{(1)} := \sum_{j=1}^{\mu} d(g)_{ji} e_j^{(1)}, \quad g \in H_k.$$

Так мы получим представление  $g \rightarrow T_g^0$  группы  $H_k$  операторами  $T_g^0$  в  $L_k$ .

**п.2. Доказательство теоремы.** Единственность соответствующего представления — если оно существует — следует из § 11.1. Поэтому мы докажем только его существование и неприводимость.

Пусть  $m = |G|/|H_k|$  — порядок звезды вектора  $k_1$ ,  $\mu = \dim L_{k_1}$ . Рассмотрим  $(m - 1)$  экземпляров  $\mu$ -мерных линейных пространств, которые обозначим  $L_{k_i}$ ,  $i = 2, 3, \dots, m$ , и в каждом из них, и в  $L_{k_1}$  выберем ортонормированные базисы  $e_1^{(i)}, \dots, e_\mu^{(i)}$ ,  $i = 1, 2, \dots, \mu$ . В качестве пространства представления группы  $G$  возьмем  $L = \sum_{i=1}^m \oplus L_{k_i}$ . Вектора  $e_1^{(i)}, \dots, e_\mu^{(i)}$ ,  $i = 1, 2, \dots, m$  образуют базис в  $L$ . Воспользовавшись разложением (10.15) находим элементы  $g_i$ ,  $i = 1, 2, \dots, m$  и определяем операторы  $T_{g_i}$ , равенствами:

$$T_{g_i} e_j^{(1)} := e_j^{(s)}, \quad j = 1, 2, \dots, \mu, \quad s = 1, 2, \dots, m. \quad (11.5)$$

Далее определяем оператор  $T_g$  для  $\forall g \in G$  на произвольном базисном элементе  $e_j^{(s)}$ , действуя аналогично § 11.1. А именно:

$$T_g e_j^{(s)} = T_g T_{g_s} e_j^{(1)} := T_{gg_s} e_j^{(1)}. \quad (11.6)$$

Подчеркнем, что в отличие от § 11.1 мы не можем здесь записать  $T_g T_{g_s} e_j^{(1)} = T_{gg_s} e_j^{(1)}$ , ибо в § 11.1 мы знали, что операторы

$T'_g, g \in G$ , образуют представление, а об определяемых здесь операторах  $T_g, g \in G$ , мы заранее этого не знаем. Поэтому равенство (11.6) является (естественным) определением значения  $T_g T_{g_s} e_j^{(1)}$  (через  $T_{gg_s} e_j^{(1)}$ ). Далее из (10.15) следует, что для некоторого  $t$  и элемента  $g_{0s} \in H_k$

$$gg_s = g_t g_{0s} \quad (11.7)$$

и мы полагаем

$$T_{g_t g_{0s}} e_j^{(1)} := T_{g_t} T_{g_{0s}} e_j^{(1)}, \quad (11.8)$$

ибо мы хотим, чтобы операторы  $T_h, h \in G$ , образовывали представление группы  $G$ . В силу (11.5)–(11.8) получаем

$$T_g e_j^{(s)} = T_{g_t} T_{g_{0s}} e_j^{(1)} = T_{g_t} \sum_{i=1}^{\mu} d(g_{0s})_{is} e_i^{(1)} = \sum_{i=1}^{\mu} d(g_{0s})_{is} e_i^{(t)}, \quad (11.9)$$

где  $g_t g_{0s} = gg_s$ . Именно равенство (11.9) является определением значения  $T_g e_j^{(s)}$ , а соотношения (11.6)–(11.8) лишь объясняют, почему определение именно таково.

**п.3.** Докажем, что определенные равенством (11.9) операторы  $T_g$  действительно образуют представление группы  $G$ . Пусть  $g', f' \in G$ . Нам достаточно проверить равенство

$$T_{g'f'} e_p^{(s)} = T_{g'} T_{f'} e_p^{(s)}, \quad p = 1, 2, \dots, \mu, \quad s = 1, 2, \dots, m. \quad (11.10)$$

В силу (11.9)

$$T_{g'f'} e_p^{(s)} = T_{g'} T_{\tilde{g}_{0i}} e_p^{(1)} = \sum_{p'=1}^{\mu} d(\tilde{g}_{0i})_{p'p} e_{p'}^{(i)}, \quad (11.11)$$

где

$$g' f' g_s = g_i \tilde{g}_{0i}, \quad \tilde{g}_{0i} \in H_k. \quad (11.12)$$

Теперь вычислим правую часть (11.10). Имеем

$$T_{f'} e_p^{(s)} = T_{g_j} T_{g_{0j}} e_p^{(1)} = \sum_{p'=1}^{\mu} d(g_{0j})_{p'p} e_{p'}^{(j)}, \quad (11.13)$$

где

$$f'g_s = g_j g_{0j}, \quad g_{0j} \in H_k. \quad (11.14)$$

Применим к обеим частям (11.13) оператор  $T_{g'}$ . Тогда в силу (11.9) получим

$$T_{g'} T_{f'} e_p^{(s)} = \sum_{p'=1}^{\mu} d(g_{0j})_{p'p} T_{g'} e_{p'}^{(j)} = \sum_{p'=1}^{\mu} d(g_{0j})_{p'p} \sum_{s'=1}^{\mu} d(g_{0t})_{s'p'} c_{s'}^{(t)}, \quad (11.15)$$

где

$$g'g_j = g_t g_{0t}, \quad g_{0t} \in H_k. \quad (11.16)$$

Умножим (11.14) слева на  $g'$ . Тогда с учетом (11.16) мы получим

$$g' f' g_s = g' g_j g_{0j} = g_t g_{0t} g_{0j}.$$

Подставляя сюда выражение  $g' f' g_s$  из (11.12), имеем

$$g_i \tilde{g}_{0i} = g_t g_{0t} g_{0j}$$

и, значит,

$$g_i = g_t, \quad \tilde{g}_{0i} = g_{0t} g_{0j}.$$

Так как элементы  $g_{0t}, g_{0j} \in H_k$ , то по условию

$$d(\tilde{g}_{0i}) = d(g_{0t}) d(g_{0j}).$$

Учитывая это и сравнивая правые части равенств (11.11) и (11.15), мы видим, что соотношение (11.10) верно и, значит, определенные нами операторы  $T_g$  действительно образуют представление группы  $G$ .

**п.4.** Докажем, что построенное представление неприводимо. Если бы представление  $g \rightarrow T_g$  было приводимо, то для некоторого подпространства  $\hat{L} \subset L$ ,  $\hat{L} \neq \{\theta\}$ , мы имели бы  $T_g \hat{L} = \hat{L}$  при  $\forall g \in G$ . Пусть  $\hat{L}_{k_1} = \hat{L} \cap L_{k_1}$ . Так как оба подпространства —  $\hat{L}$  и  $L_{k_1}$  — инвариантны для операторов  $T_g$ ,  $g \in H_k$ , то  $T_g \hat{L}_{k_1} = \hat{L}_{k_1}$ ,  $g \in H_k$ . Поэтому и так как  $\hat{L}_{k_1} \subset L_{k_1}$  и представление  $g \rightarrow T_g$ ,  $g \in H_k$ , неприводимо в пространстве  $L_{k_1}$ , мы

получаем, что или  $\hat{L}_{k_1} = \{\theta\}$  или  $\hat{L}_{k_1} = L_{k_1}$ . Если  $\hat{L}_{k_1} = L_{k_1} \subseteq \hat{L}$ , то  $L_{k_i} = T_{g_i} L_{k_1} \subseteq \hat{L}$  и, значит,  $L \equiv \sum_{i=1}^n \oplus L_{k_i} \subseteq \hat{L}$ , что невозможно, ибо  $\hat{L} \subset L$ . Если  $\hat{L}_{k_1} = \{\theta\}$ , то  $\hat{L}_{k_i} = L_{k_i} \cap \hat{L} = \{\theta\}$  при  $\forall i$ . Действительно, если  $q \in \hat{L}_{k_i}$ , то  $T_{g_i^{-1}} q \in \hat{L}_{k_1} = \{\theta\}$  и, значит,  $q = \theta$ . Поэтому  $\hat{L}_{k_i} = \{\theta\}$ ,  $i = 1, 2, \dots, m$ , и значит  $P^{(k_i)} \hat{L} = \{\theta\}$  для любого волнового вектора  $k_i$  из зоны Бриллюэна. Следовательно,  $\hat{L} \equiv \sum_{i=1}^m P^{(k_i)} \hat{L} = \{\theta\}$ , что невозможно. Таким образом, неприводимость построенного представления доказана.

**Задание.** Рассмотрите любое из пространств  $L_{k_j}$ , построенных нами в ходе доказательства, и докажите, что для  $\forall q \in L_{k_j}$  выполняется  $T_{t_n} q = e^{i(k_j, n)} q$ .

п.5. В заключение параграфа обсудим те упрощения, которые возникают в общей теории при рассмотрении кристаллов, в группе симметрии которых отсутствуют элементы  $g = t_{n+d}\beta$  с несобственными трансляциями на вектора  $n + d \notin Z_a$ . Другими словами, мы рассматриваем случай, когда

$$G = G_a = \{g \mid g = t_n\beta, n \in Z_a, \beta \in K \subseteq K_a\},$$

где  $K$  — группа точечной симметрии рассматриваемого кристалла:  $\beta Z = Z$ . Таким образом мы допускаем и наличие включений, лишь бы они не приводили к появлению в группе  $G$  элементов  $g = t_{n+d}\beta$  с  $n + d \notin Z_a$ .

В рассматриваемой ситуации, очевидно,

$$H_k = \{g \mid g = t_n\beta, t_n \in \tau_a, \beta \in K, \beta k = k\}$$

и (см. п.10.3)

$$F_k = \{\beta \mid \beta \in K, \beta k = k\}.$$

Так как  $F_k \subset H_k$ , то любое представление группы  $H_k$  порождает представление группы  $F_k$ .

**Лемма.** Если нормальное представление группы  $H_k$  неприводимо, то оно остается неприводимым после сужения его с  $H_k$  на  $F_k$ .

**Доказательство.** Если представление группы  $H_k$  было задано в матричной форме  $g \rightarrow D_g$ , то мы перейдем к операторному заданию. Для этого в произвольном линейном пространстве  $R$  размерности  $\mu = \dim D_g$  введем какой-либо ортонормированный базис  $e$  и определим в  $R$  операторы  $T_g$  как операторы, для которых  $\|T_g\|_e = D_g$ . Таким образом мы получаем в пространстве  $R$  операторное представление  $g \rightarrow T_g$  группы  $H_k$ , являющееся при  $g = \beta \in F_k$  представлением  $\beta \rightarrow T_\beta$  группы  $F_k$ . Лемма утверждает, что представление  $\beta \rightarrow T_\beta$ ,  $\beta \in F_k$ , неприводимо в  $R$ . Предположим, что это не так, т. е. что это представление приводимо. Тогда найдется подпространство  $R' \subset R$ ,  $R' \neq \{\theta\}$ , такое, что  $T_\beta q' \in R'$  при  $\forall q' \in R'$  и  $\forall \beta \in F_k$ . Так как представление группы  $H_k$  — нормальное, то в этом представлении элементам  $t_n$  отвечают диагональные матрицы  $e^{i(k,n)} E_\mu$  ( $E_\mu$  — единичная матрица размерности  $\mu$ ), и, значит, операторы  $T(n)$  действуют на  $\forall q \in R$  как операторы умножения на  $e^{i(k,n)}$ . Поэтому  $T(n)T_\beta q' = e^{i(k,n)}T_\beta q'$  при  $\forall q' \in R$  и, значит, при  $g = t_n \beta$ ,  $\beta \in F_k$  имеем

$$T_g q' = T_{t_n \beta} q' = T(n)T_\beta q' = e^{i(k,n)}T_\beta q' \in R' \text{ при } \forall q' \in R',$$

т. е. подпространство  $R'$  из  $R$  инвариантно для операторов  $T_g$  при  $\forall g \in H_k$ . Следовательно, представление  $g \rightarrow T_g$ ,  $g \in H_k$ , приводимо в  $R$ , что противоречит условию Леммы. Значит представление  $\beta \rightarrow T_\beta$ ,  $\beta \in F_k$ , неприводимо в  $R$ .

**п.6.** Приведенные рассуждения показывают, что для задания малого представления достаточно задать неприводимое представление  $\beta \rightarrow T_\beta$  группы  $F_k$  в некотором пространстве  $R$ , определить операторы  $T(n)$  на любых  $q \in R$  равенством  $T(n)q = e^{i(k,n)}q$  и положить  $T_g = T(n)T_\beta$  при  $g = t_n \beta \in H_k$ . После

этого  $R$  превращается в пространство функций трансляционной симметрии  $k$  и мы получаем нормальное малое представление  $g \rightarrow T_g$ ,  $g \in H_k$ . Если представление группы  $F_k$  было задано в матричной форме  $\beta \rightarrow d(\beta)$ , то при  $g = t_n \beta \in H_k$  полагаем

$$\|T_g\| = e^{i(k,n)} d(\beta)$$

и получаем нормальное малое представление в матричной форме.

Далее, поскольку элементы  $g_i = t_{n(i)} \beta_i$  из (10.15) могут быть записаны в виде  $g_i = \beta_i t_{\beta_i^{-1} n(i)}$ , где  $\beta_i^{-1} n(i) \in Z_a$ , то в силу Леммы о сдвиге [1]  $g_i H_k = \beta_i H_k$  и, значит, в рассматриваемой ситуации в (10.15) можно взять  $g_i = \beta_i$ , где  $\beta_i$ ,  $i = 1, 2, \dots, m$ , — вращения, порождающие звезду вектора  $k$ , то есть

$$G = \sum_{i=1}^m \beta_i H_k. \quad (11.17)$$

Из этого равенства следует, что

$$F \equiv K = \sum_{i=1}^m \beta_i F_k. \quad (11.18)$$

Действительно, так как в силу (11.17) для  $\forall g = t_n \beta$  найдутся  $\beta_i \in K$ ,  $\beta_0 \in F_k$ ,  $t_{n_0} \in \tau_a$  так, что

$$t_n \beta = \beta_i t_{n_0} \beta_0 = t_{\beta_i n_0} \beta_i \beta_0,$$

то

$$t_n \beta r = \beta r + n = \beta_i \beta_0 r + \beta_i n_0$$

при  $\forall r$  и, значит,  $\beta = \beta_i \beta_0$ . Таким образом  $\forall \beta$  из  $K$  принадлежит одному из смежных классов  $\beta_j F_k$ , т. е. (11.18) доказано.

### § 11.3. Как это работает: пример

**п.1.** Рассмотрим пример, иллюстрирующий применение общего подхода § 11.1, § 11.2 к конкретной ситуации. Для простоты ограничимся случаем квадратной решетки Браве. Группа точечной симметрии  $K_a$  такой решетки — это группа  $D_4$ , т. е. система имеет ось 4-го порядка, перпендикулярную к плоскости чертежа и четыре оси  $\ell_i$ ,  $i = 1, 2, 3, 4$ , второго порядка, расположенные в плоскости чертежа так, что углы между соседними осями равны  $\frac{\pi}{4}$ . Вид участка решетки Браве с четырьмя элементарными ячейками дан на рис. 11.1. Длина стороны ячейки  $|a_1| = |a_2|$ . Обратная решетка — тоже квадратная:  $|b_1| = |b_2| = |a_1|^{-1}$ . Группа

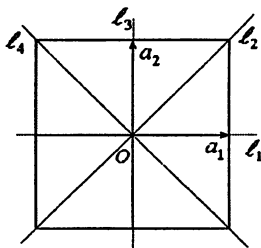


Рис. 11.1

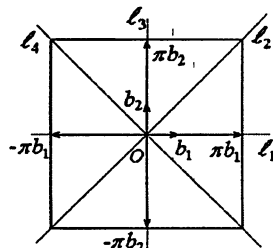


Рис. 11.2

$K_b$  симметрии обратной решетки совпадает с  $K_a$ . Симметризованная зона Бриллюэна ЗБ = ЗБ2 представлена на рис. 11.2. Это квадрат с центром в начале координат, со стороной  $2\pi|b_1|$ , причем левая и нижняя сторона квадрата в ЗБ не входят. Волновые вектора  $k$ , определяющие типы неприводимых представлений группы  $\tau_a$ , имеют вид

$$k = 2\pi \left( \frac{p_1 b_1}{N_1} + \frac{p_2 b_2}{N_2} \right),$$

где

$$-N_1 < 2p_1 \leq N_1, \quad -N_2 < 2p_2 \leq N_2.$$

Оси симметрии ЗБ – это четыре оси  $\ell_i$ ,  $i = 1, 2, 3, 4$ , второго порядка и ось  $z$  4-го порядка, перпендикулярная к плоскости квадрата в точке  $O$ . Обозначим через  $C_\ell(\varphi)$  вращение на угол  $\varphi$  около оси  $\ell$  и положим  $e_0 = C_z(0)$ ,  $C_{\ell_i} = C_{\ell_i}(\pi)$ ,  $C_4^1 = C_z\left(\frac{2\pi}{4}\right)$ .

Тогда

$$K_b = \{\beta \mid \beta = \beta_j, j = 1, \dots, 8, \beta_1 = e_0, \beta_{i+1} = C_{\ell_i}, i = 1, 2, 3, 4, \beta_6 = C_4^1, \beta_7 = C_4^2, \beta_8 = C_4^3\}.$$

**п.2.** Переходим к применению общей схемы. Фиксируем произвольный волновой вектор  $k$  из ЗБ, находящийся в общем положении, т. е. не лежащий на осях симметрии второго порядка и такой, что его конец не находится на границе ЗБ. Положим  $k_i = \beta_i k$ ,  $i = 1, 2, \dots, 8$  (рис. 11.3). Очевидно, что все вектора  $k_i$  – различные. Следовательно,  $Z(k) = \{k_1, k_2, \dots, k_8\}$ ,  $F_k = \{\beta_1\}$ . Далее  $H_k = \{g \mid g = t_n \beta_1 = t_n, t_n \in \tau_a\} = \tau_a$ . Так как группа  $F_k$  имеет единственное – единичное – представление, то мы

начинаем построение, взяв произвольное одномерное пространство  $L_k$ . Пусть  $q^{(1)}$  – нормированный элемент из  $L_k$ . Определим на нем операторы представления  $g \rightarrow T_g$ ,  $g \in H_k$ , равенством

$$T_g q^{(1)} = e^{i(k, n)} q^{(1)}, \quad g = t_n,$$

т. е. мы задаем нормальное представление группы  $H_k$ . Далее рассмотрим еще 7 произвольных одномерных пространств  $L_{k_j}$ ,  $j = 2, \dots, 8$ , и в качестве простран-

ства большого представления возьмем  $L = \sum_{j=1}^8 \oplus L_{k_j}$  (где  $L_{k_1} = L_k$ ). Нормированные элементы пространств  $L_{k_j}$  обозначим  $q^{(j)}$ ,  $j = 2, \dots, 8$ , и в качестве базиса в  $L$  выберем набор  $q^{(1)}, \dots, q^{(8)}$ .

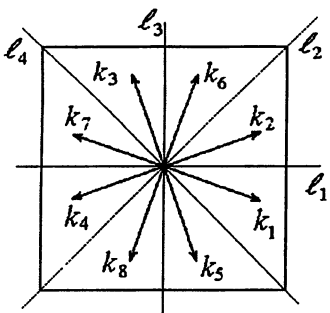


Рис. 11.3

Определим теперь операторы  $T_g$ ,  $g \in G$ , сначала на  $q^{(1)}$ , а потом на любом базисном векторе пространства  $L$ . Положим  $T_{\beta_j} q^{(1)} := q^{(j)}$ ,  $T_{t_n \beta_s} q^{(1)} = e^{i(k_j, n)} q^{(j)}$  и при  $g = t_n \beta_s$

$$T_g q^{(j)} \equiv T_{t_n \beta_s} q^{(j)} := T_{t_n} T_{\beta_s} T_{\beta_j} q^{(1)} = e^{i(k_p, n)} q^{(p)}, \quad (11.19)$$

где индекс  $p$  определяется из равенства  $\beta_p = \beta_s \beta_j$ . Например, при  $s = 2, j = 3$  получаем  $p = 6$  и т. д. Таким образом, мы определили значения оператора  $T_g$  при  $\forall g \in G$  на всех базисных векторах  $q^{(j)}$ ,  $j = 1, 2, \dots, 8$ , и тем самым задали большое представление полностью. Мы видим, что каждому волновому вектору  $k$ , находящемуся в общем положении, отвечает одно восьмимерное представление группы  $G$ , матричные элементы которого определяются равенствами (11.19). В рассматриваемом случае “суперстроки” и “суперстолбцы” (§ 11.2) превращаются просто в строки и столбцы ( $\mu = 1$ ). Согласно (11.19) в  $j$ -ом столбце матрицы  $\|T_g\|$  при

$g = t_n \beta_s$  элементы во всех строках, кроме  $p$ -й будут нулевыми, а в  $p$ -й строке будет элемент  $\|T_g\|_{pj} = e^{i(k_p, n)}$ , где  $p$  (как мы уже говорили) определяется условием  $\beta_p = \beta_s \beta_j$ .

**п.3.** Рассмотрим теперь случай, когда вектор  $k$  находится на одной из осей симметрии, но конец его по-прежнему не лежит на границе ЗБ и  $k \neq 0$ . Пусть  $k = k_1$  лежит на оси  $\ell_1$ . Тогда (рис. 11.4)

$$\begin{aligned} k_1 &= C_4^0 k_1 = C_{\ell_1} k_1, & k_2 &= C_4^1 k_1 = C_{\ell_2} k_1, \\ k_3 &= C_4^2 k_1 = C_{\ell_3} k_1, & k_4 &= C_4^3 k_1 = C_{\ell_4} k_1. \end{aligned} \quad (11.20)$$

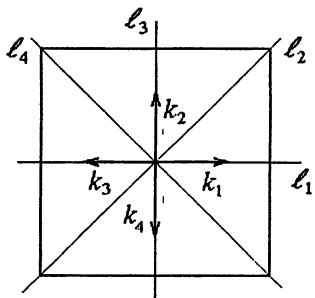


Рис. 11.4

Мы видим, что  $\mathcal{Z}(k) = \{k_1, k_2, k_3, k_4\}$ ,  $F_k = \{e, C_{\ell_1}\}$ , и что разложение (11.18) можно записать в виде

$$K_a = D_4 = \sum_{j=1}^4 C_4^{j-1} F_k. \quad (11.21)$$

Пусть  $H_k = \{g \mid g = t_n \beta, t_n \in \tau_a, \beta \in F_k\}$ . Так как группа  $F_k$  имеет всего два неприводимых (одномерных) представления  $\beta \rightarrow \rightarrow d_0^{(s)}(\beta)$  (где  $d_0^{(1)}(e_0) = d_0^{(2)}(e_0) = 1$ ,  $d_0^{(1)}(C_{\ell_1}) = 1$ ,  $d_0^{(2)}(C_{\ell_1}) = -1$ ), то, согласно вышесказанному, и группа  $H_k$  имеет только два неприводимых (одномерных) представления  $g \rightarrow d^{(s)}(g)$ , где

$$d^{(s)}(g) = d_0^{(s)}(\beta) e^{i(k, n)}, \quad g = t_n \beta, \quad t_n \in \tau_a, \quad \beta \in F_k, \quad s = 1, 2. \quad (11.22)$$

Теперь берем произвольное одномерное линейное пространство  $L_k = L_{k_1}$  и определим на нем операторы  $T_g^{(s)}$   $s$ -го представления группы  $H_k$ . Пусть  $q^{(1)}$  — нормированный базисный элемент в  $L_{k_1}$ . Положим

$$T_g^{(s)} q^{(1)} = d^{(s)}(g) q^{(1)}, \quad g \in H_k. \quad (11.23)$$

Рассмотрим далее три произвольных одномерных пространства  $L_{k_j}$ ,  $j = 2, 3, 4$ , и в качестве пространства большого представления возьмем  $L = \sum_{j=1}^4 \oplus L_{k_j}$ . Нормированные базисные вектора

пространств  $L_{k_j}$  обозначим через  $q^{(j)}$  и в качестве базиса в  $L$  возьмем набор  $q^{(1)}, q^{(2)}, q^{(3)}, q^{(4)}$ . Определим теперь оператор  $T_g^{(s)}$   $s$ -го большого представления сначала на пространстве  $L_{k_1}$  при  $g \notin H_k$ , а потом на любом векторе  $q^{(j)}$  при  $\forall g \in G$ . Пусть  $\beta' = C_4^{j-1}$ ,  $j = 1, 2, 3, 4$ , и  $g' = t_n \beta'$ . Положим

$$T_{g'}^{(s)} q^{(1)} = T(n') T_{\beta'}^{(s)} q^{(1)} = e^{i(k_j, n')} q^{(j)}, \quad (11.24)$$

где значение  $j$  однозначно определяется вращением  $\beta'$  из формулы  $k_j = C_4^{j-1} k_1$  (см. (11.20)). Далее с учетом (11.22)–(11.24) полагаем

$$T_g^{(s)} q^{(j)} = T^{(s)}(n) T_{\beta'}^{(s)} q^{(j)} = d_0^{(s)}(\beta_0) e^{i(k_p, n)} q^{(p)}, \quad (11.25)$$

где элемент  $\beta_0$  из  $F_k$  и значение  $p$  однозначно определяются из равенства

$$\beta\beta' = \beta_p\beta_0,$$

вытекающего из (11.21). Например, при  $\beta = C_{\ell_3}$ ,  $\beta' = C_4^2$ , мы получаем  $\beta_p = C_4^0 = e$  (т.е.  $p = 1$ ),  $\beta_0 = C_{\ell_1}$ : при  $\beta = C_{\ell_1}$ ,  $\beta' = C_4^1$  имеем  $\beta_p = C_4^3$  ( $p = 3$ ),  $\beta_0 = C_{\ell_1}$  и т.д.

**Задание.** Рассмотреть случай вектора  $k$ ,  $k \neq 0$ , лежащего на оси симметрии  $\ell_2$ ; конец  $k$  не лежит на границе ЗБ.

**п.4.** Рассмотрим теперь вектор  $k$  не лежащий ни на одной из осей симметрии, но имеющий конец на границе зоны Бриллюена (рис. 11.5). Полагаем

$$k_1 = k = C_4^0 k, \quad k_2 = C_{\ell_1} k_1, \quad k_3 = C_4^1 k_1, \quad k_4 = C_{\ell_2} k_1, \\ k_5 = C_4^2 k_1, \quad k_6 = C_{\ell_3} k_1, \quad k_7 = C_4^3 k_1, \quad k_8 = C_{\ell_4} k_1.$$

Так как  $k_1 - k_6 = k_2 - k_5 = 2\pi b_1$  и  $k_3 - k_8 = k_4 - k_7 = 2\pi b_2$ , то согласно § 9.3 мы можем записать, что  $k_1 = k_6$ ,  $k_2 = k_5$ ,  $k_3 = k_8$ ,  $k_4 = k_7$ . Поэтому звезда вектора  $k$  состоит из четырех векторов:  $Z(k) = \{k_1, k_2, k_3, k_4\}$  и  $F_k = \{e_0, C_{\ell_3}\}$ . Ситуация аналогична разобранной в п.3 с той лишь разницей, что здесь другая группа  $F_k$ , другая звезда вектора  $k$  и в разложении (11.18) будут другие  $\beta_i$ . Однако эта разница не влияет на вывод: каждому вектору  $k$  в описанной ситуации отвечают 2 четырехмерных неприводимых представления группы  $G$ .

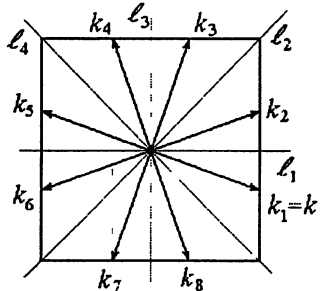


Рис. 11.5

**Задание.** Построить эти представления.

п.5. Пусть теперь  $k = \pi b_1$  (в случае  $k = \pi b_2$  рассуждения аналогичны). Очевидно (рис. 11.6)

$$\begin{aligned} k_1 &\equiv k = C_4^0 k_1 = C_{\ell_1} k_1, \\ k_2 &= C_{\ell_2} k_1 = C_4^1 k_1, \quad k_3 = C_{\ell_3} k_1 = C_4^2 k_1, \\ k_4 &= C_{\ell_4} k_1 = C_4^3 k_1. \end{aligned}$$

Так как  $k_1 - k_3 = 2\pi b_1$  и  $k_2 - k_4 = 2\pi b_2$ , то  $k_3 = k_1$ ,  $k_4 = k_2$ .

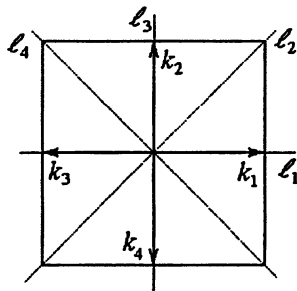


Рис. 11.6

Поэтому

$$3(k) = \{k_1, k_2\}, \quad F_k = \{\beta \mid \beta = e_0, C_{\ell_1}, C_{\ell_3}, C_4^2\}.$$

Выражение (11.18) перепишется в виде

$$D_4 = \sum_{j=1}^2 C_4^{j-1} F_k. \quad (11.26)$$

Группа  $F_k$  совпадает с группой  $D_2$  (симметрия  $D_2$  порождается осью 2-го порядка и двумя перпендикулярными к ней и к друг другу осями второго порядка). Группа  $D_2$  имеет 4 неприводимых не эквивалентных (одномерных) представления  $\beta \rightarrow d_0^{(s)}(\beta)$ , где числа  $d_0^{(s)}(\beta)$ ,  $s = 1, 2, 3, 4$ , приведены в [3, § 8.4]. Пусть  $H_k = \{g \mid g = t_n \beta, t_n \in \tau_a, \beta \in F_k\}$ . Согласно п.11.2.6 группа  $H_k$

(как и группа  $F_k$ ) будет иметь четыре не эквивалентных неприводимых (одномерных) представления:  $g \rightarrow d^{(s)}(g)$ , где

$$d^{(s)}(g) := d_0^{(s)}(\beta) e^{i(k,n)}, \quad g = t_n \beta, \quad \beta \in F_k,$$

каждое из которых порождает свое неприводимое двумерное представление группы  $G$ . Построение этого представления осуществляется так же, как в пп.3, 4, но здесь мы возьмем не 4, а 2 (порядок звезды вектора  $k$ ). одномерных пространства:  $L_{k_1}$  и  $L_{k_2}$  и положим  $L = L_{k_1} \oplus L_{k_2}$ . Далее выбираем базисные элементы  $q^{(j)}$  в  $L_{k_j}$ ,  $j = 1, 2$ , базис  $q^{(1)}, q^{(2)}$  в  $L$  и определяем операторы  $T_g^{(s)}$  сначала при  $g \in H_k$  на  $L_{k_1}$ , а потом для  $\forall g$  на  $L_{k_2}$  совершенно аналогично п.4, и т. д. Таким образом мы можем построить 4 двумерных неприводимых не эквивалентных представления группы  $G$ .

**Задание.** Выписать формулы для матричных элементов  $d^{(s)}(g)_{21} = \|T_g^{(s)}\|_{21}$   $s$ -го неприводимого представления группы  $G$  при  $g = t_n C_4^1, t_n C_{\ell_3}$ .

**п.6.** Рассмотрим вектор  $k = k_1 = \pi b_1 + \pi b_2$ , т. е. вектор  $k$ , расположенный на оси  $\ell_2$  с концом на границе ЗБ. Имеем (рис. 11.7)

$$\begin{aligned} k &= k_1 = C_4^0 k_1 = C_{\ell_2} k_1, & k_2 &= C_4^1 k_1 = C_{\ell_3} k_1, \\ k_3 &= C_4^2 k_1 = C_{\ell_4} k_1, & k_4 &= C_4^3 = C_{\ell_1} k_1. \end{aligned}$$

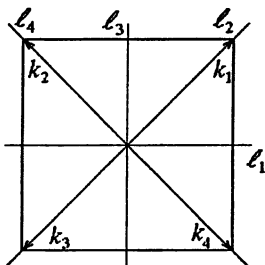


Рис. 11.7

Поскольку  $k_1 - k_2 = 2\pi b_1$ ,  $k_1 - k_3 = 2\pi b_1 + 2\pi b_2$ ,  $k_1 - k_4 = 2\pi b_2$ , то  $k_1 = k_2 = k_3 = k_4$ . Следовательно,  $3(k_1) = \{k_1\}$ .  $F_k = K_a = D_4$ . Неприводимые представления группы  $F_k = D_4$  найдены в [3]: это 4 одномерных представления  $\beta \rightarrow d^{(s)}(\beta)$ ,  $s = 1, 2, 3, 4$ , и одно двумерное:  $\beta \rightarrow \|d^{(5)}(\beta)\|$ . В рассматриваемом случае группа  $H_k = \{g \mid g = t_n\beta, t_n \in \tau_a, \beta \in F_k\}$  совпадает с группой  $G$ , ибо  $F_k = K_a$ ; поэтому нам достаточно построить неприводимые нормальные представления группы  $H_k$ . Чтобы получить одномерные представления  $g \rightarrow T_g^{(s)}$ ,  $s = 1, 2, 3, 4$ , группы  $H_k$ , возьмем четыре одномерных пространства  $L_k^{(s)}$ ,  $s = 1, 2, 3, 4$ , и на их элементах  $q(s)$  определим операторы  $T_g^{(s)}$ ,  $g = t_n\beta$ , равенствами

$$T_g^{(s)} q(s) = d^{(s)}(\beta) e^{i(k,n)} q(s), \quad s = 1, 2, 3, 4. \quad (11.27)$$

Для построения двумерного представления  $g \rightarrow T_g^{(5)}$  возьмем произвольное двумерное пространство  $L_k^{(5)}$ , выберем в нем любой базис  $q_1, q_2$  и положим при  $g = t_n\beta$

$$T_g^{(5)} q_t = e^{i(k,n)} \sum_{t'=1}^2 d^{(5)}(\beta)_{t,t'} q_{t'}. \quad (11.28)$$

Таким образом для  $k = \pi b_1 + \pi b_2$  группа  $G$  имеет пять неприводимых представлений: четыре одномерных и одно двумерное. Эти представления определены равенствами (11.27), (11.28).

**Задание.** Рассмотреть случай  $k = 0$ .

## ЛИТЕРАТУРА

1. Жислин Г. М. Лекции по теории представлений конечных групп (общая теория). I // Препринт НИРФИ № 409. — Н. Новгород: НИРФИ, 1995. 42 с.
2. Жислин Г. М. Общая теория представлений конечных групп. II. — Н. Новгород: Нижегородский ун-т, 1995. 43 с.
3. Жислин Г. М. Лекции по теории представлений конечных групп. III // Препринт НИРФИ № 522. — Н. Новгород: НИРФИ, 2009. 44 с.
4. Киреев П. С. Введение в теорию групп и её применение в физике твердого тела. — М.: Высшая школа, 1979.
5. Петрашень М. И., Трифонов Д. Е. Применение теории групп в квантовой механике. — М.: Наука, 1967.

**Жислин Григорий Моисеевич**

Лекции по теории представлений конечных групп.  
IV. Пространственные группы и их представления

---

Подписано в печать 20.10.2009 г. Формат 60 × 84/16.  
Бумага писчая. Объем 3,21 усл. п. л.  
Тираж 50. Заказ 5590

---

Отпечатано в НИРФИ  
Нижний Новгород, ул. Большая Печерская, 25